

Анализ $\eta\pi^0$ системы

В.Л. Коротких

14 января, 2005

E852 experiment

Search of mesons with unusual quantum numbers

$\pi^- p \rightarrow \eta \pi^- p$, $\pi^- p \rightarrow \pi^+ \pi^- \pi^- p$,
 $\pi^- p \rightarrow \eta \pi^0 n$, $\pi^- p \rightarrow \eta' \pi^- p$, $\pi^- p \rightarrow K^+ K^- \pi^0 n$, ...

at 18 GeV/c, AGS (BNL)

Статистика : $10.59 \cdot 10^6$ (1994-95), $8.79 \cdot 10^6$ (1997-98)

E852 collaboration: BNL, SINP MSU, IHEP

and 6 USA universities

62 physicists, **12** – from MSU

1994 -2004

E852 author list

S.U. Chung, K. Danyo, R.W. Hackenburg, C. Olchanski, J.S. Suh, H.J. Willutzki
(Brookhaven),

T. Adams, J.M. Bishop, N.M. Cason, E.I. Ivanov, J.M. LoSecco, J.J. Manak,
W.D. Shephard, D.L. Stienike, S.A. Taegar (Notre Dame U.),

V.A. Bodyagin, A.I. Demianov, A.M. Gribushin, O.L. Kodolova, V.L. Korotkikh, M.A. Kostin,
L.V. Malinina, A.I. Ostrovidov, L.I. Sarycheva, N.V. Sinev, I.N. Vardanyan, A.A. Yershov (Moscow
State U.),

New E852 member !

S.P. Denisov, V. Dorofeev, V.V., I. Kachaev,
V.V. Lipaev, A.V. Popov, D.I. Ryabchikov (Serpukhov, IHEP),

Z. Bar-Yam, J.P. Dowd, P. Eugenio, M. Hayek, W. Kern, E. King,
N. Shenhav (Massachusetts U., North Dartmouth),

D.S. Brown, X.L. Fan, D. Joffe, T.K. Pedlar, K.K. Seth,
A. Tomaradze (Northwestern U.),

G.S. Adams, J.P. Cummings, J. Hu, J. Kuhn, M. Lu, J. Napolitano, D.B. White, M. Witkowski
(Rensselaer Poly.),

M. Nozar, X. Shen, D.P. Weygand (Jefferson Lab)

E852 statistics and Exotics $J^{PC}=1^{-+}$

Publications. Reaction	Final state	Main result
1. D.R.Thompson et al. $\pi^- p \rightarrow \eta \pi^- p$, Phys. Rev. Lett. 79(1997)1630, S.U. Chung et al, $\pi^- p \rightarrow \eta \pi^- p$, Phys. Rev. D60(1999)092001	$\eta \pi^-$ 47200	$\pi_1(1400)$
2. G.S. Adams et al. "Observation of a New $J^{PC}=1^{-+}$ Exotic State in the Reaction $\pi^- p \rightarrow \pi^+ \pi^- \pi^- p$ at 18 GeV/c", Phys. Rev. Lett. 81(1998)5760	$\pi^+ \pi^- \pi^-$ 250000	$\pi_1(1600)$
3. E. Ivanov et al. $\pi^- p \rightarrow \eta \pi^+ \pi^- p$, Phys. Rev. Lett. 86(2001)3977	$\eta' \pi^-$ 6040	$\pi_1(1600)$
4. J. Kuhn et al. $\pi^- p \rightarrow \eta \pi^+ \pi^- \pi^- p$ Phys. Lett. B., 2003.	$f_1 \pi^-$ 68900	$\pi_1(1600)$ $\pi_1(2000)$
5. M. Lu et al. $\pi^- p \rightarrow \omega \pi^0 \pi^- p$. Phys. Rev. Lett. 2004. To be published	$b_1 \pi^-$ 145148	$\pi_1(1600)$ $\pi_1(2000)$
6. V.L.Korotkikh et al. $\pi^- p \rightarrow \eta \pi^0 n$, $\eta \rightarrow \pi^+ \pi^- \pi^0$, HADRON99, Nucl.Phys. A675(2000)413c	$\eta \pi^0$ 18712	$M=1280 \pm 24$ $\Gamma=526 \pm 81$
7. A.R.Dzierba et al. $\pi^- p \rightarrow \eta \pi^0 n$, $\eta \rightarrow 2\gamma$, Phys.Rev. D67(2003)094015	$\eta \pi^0$ 45000	$M=1272 \pm 17$ $\Gamma=660 \pm 48$ All $ t $

1⁻⁺ мезонная экзотика

$\pi_1(1400)$

	М, МэВ	Γ , МэВ	Распад
E852	1370	385	$\eta\pi^-$
CrBar	1400	310	$\eta\pi^-$
CrBar	1360	220	$\eta\pi^0$
GAMS	1370	300	$\eta\pi^0$
	1301	190	$\eta\pi^0_{0.14< t <\Gamma\text{эВ}^2}$
E852-IU	1268	670	$\eta\pi^0_{0.14< t <0.31}$
	1356	629	$\eta\pi^0_{ t >0.31 \text{ ГэВ}^2}$

E852-MSU $M=1280 \pm 24$, $\Gamma = 526 \pm 81$

$\eta\pi^0, \eta \rightarrow \pi^+\pi^-\pi^0$

E852-IU $M=1272 \pm 17$, $\Gamma=660\pm48$, all $|t|$

$\pi_1(1600)$

	М, МэВ	Γ , МэВ	Распад
E852	1593	168	$\rho\pi^-$
E852	1597	340	$\eta'\pi^-$
VES	1610	290	$\rho\pi^-, \eta'\pi^-, b_1\pi$
E852	1709	403	$f_1\pi^-$
E852	1664	185	$b_1\pi^-$

$\pi_1(2000)$

E852	2001	333	$f_1\pi^-$
E852	2014	230	$b_1\pi^-$

$\eta\pi^0, \eta \rightarrow \gamma\gamma$

Particle Data Group

S. Eidelman et al., Phys.Lett. B592 (2004) 1

40 Meson Summary Table

$\pi_1(1600)$ [o]	<input checked="" type="checkbox"/>	$J^G(J^{PC}) = 1^-(1^-+)$
Mass $m = 1596^{+25}_{-14}$ MeV		(2004) [o] low
Full width $\Gamma = 312^{+64}_{-24}$ MeV [S = 1.1]		(2004) [o] low

$\pi_1(1600)$ DECAY MODES	Fraction (Γ_i/Γ)	p (MeV/c)
$\pi\pi\pi$	seen	769
$\rho^0\pi^-$	seen	600
$f_2(1270)\pi^-$	not seen	7259
$\eta'(958)\pi^-$	seen	497

$\eta_2(1645)$	<input checked="" type="checkbox"/>	$J^G(J^{PC}) = 0^+(2^-+)$
Mass $m = 1617 \pm 5$ MeV		(2004) [o] low
Full width $\Gamma = 181 \pm 11$ MeV		(2004) [o] low

$\eta_2(1645)$ DECAY MODES	Fraction (Γ_i/Γ)	p (MeV/c)
$a_2(1320)\pi$	seen	242
$KK\pi$	seen	580
$K^*\bar{K}$	seen	404
$\eta\pi^+\pi^-$	seen	685
$a_0(980)\pi$	seen	496
$f_2(1270)\eta$	not seen	↑

$\omega(1650)$ [t]	<input checked="" type="checkbox"/>	$J^G(J^{PC}) = 0^-(1^- -)$
was $\omega(1600)$		
Mass $m = 1670 \pm 30$ MeV		(2004) [o] low

Full width $\Gamma = 315 \pm 35$ MeV

$\omega(1650)$ DECAY MODES	Fraction (Γ_i/Γ)	p (MeV/c)
$\rho\pi$	seen	646
$\omega\pi\pi$	seen	617
$\omega\eta$	seen	500
e^+e^-	seen	835

41 Meson Summary Table

$\omega_3(1670)$	<input checked="" type="checkbox"/>	$J^G(J^{PC}) = 0^-(3^- -)$
Mass $m = 1667 \pm 4$ MeV		(2004) [o] low
Full width $\Gamma = 168 \pm 10$ MeV [n]		(2004) [o] low

$\omega_3(1670)$ DECAY MODES	Fraction (Γ_i/Γ)	p (MeV/c)
$\rho\pi$	seen	645
$\omega\pi\pi$	seen	615
$b_1(1235)\pi$	possibly seen	361

$\pi_2(1670)$	<input checked="" type="checkbox"/>	$J^G(J^{PC}) = 1^-(2^- +)$
Mass $m = 1672.4 \pm 3.2$ MeV [n]	(S = 1.4)	
Full width $\Gamma = 259 \pm 9$ MeV [n]	(S = 1.3)	

$\pi_2(1670)$ DECAY MODES	Fraction (Γ_i/Γ)	Confidence level	p (MeV/c)
3π	(95.8 ± 1.4) %		
$f_2(1270)\pi$	(56.2 ± 3.2) %		809
$\rho\pi$	(31 ± 4) %		329
$\sigma\pi$	(10.9 ± 3.4) %		648
$(\pi\pi)_S$ -wave	(8.7 ± 3.4) %		—
$KK^*(892) + c.c.$	(4.2 ± 1.4) %		—
$\omega\rho$	(2.7 ± 1.1) %		455
$\rho(1450)\pi$	< 3.6 × 10 ⁻³	97.7%	303
$b_1(1235)\pi$	< 1.9 × 10 ⁻³	97.7%	148
			366

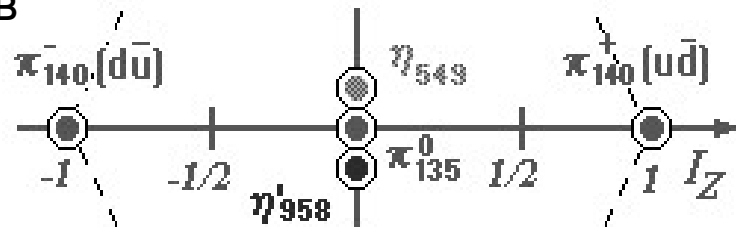
$\phi(1680)$	<input checked="" type="checkbox"/>	$J^G(J^{PC}) = 0^-(1^- -)$
Mass $m = 1680 \pm 20$ MeV [n]		
Full width $\Gamma = 150 \pm 50$ MeV [n]		

$\phi(1680)$ DECAY MODES	Fraction (Γ_i/Γ)	p (MeV/c)
$KK^*(892) + c.c.$	dominant	
$K^0_S K\pi$	seen	462
$K\bar{K}$	seen	621
e^+e^-	seen	680
$\omega\pi\pi$	not seen	840
		623

Мультиплет π_1 (1400)

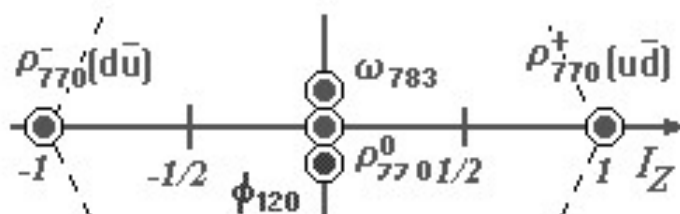
Окта́т скаляров

$$J^P = 0^-$$



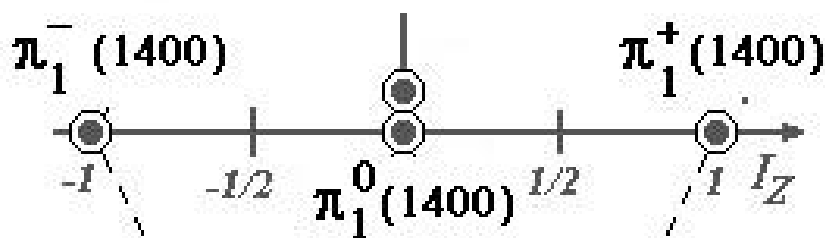
Окта́т изовекторов

$$J^P = 1^-$$



Окта́т экзотических изовекторов

$$J^{PC} = 1^{-+}$$



Если π_1^- входит в состав нового мультиплета $I^G(J^{PC}) = 1^- (1^{-+})$, то должны быть 3 партнера (π_1^- , π_1^0 , π_1^+) по изоспину с равными вероятностями распада



$$\pi_1^- \rightarrow \eta \pi^-$$

$$\pi_1^0 \rightarrow \eta \pi^0$$

$$\pi_1^+ \rightarrow \eta \pi^+$$

Актуальность анализа $\eta\pi^0$ системы

1. В нейтральной системе мезонов зарядовая четность $C = \pm 1$ является хорошим квантовым числом.
2. Экзотические квантовые числа $J^P C = 1^-+$ для заряженных систем справедливы только в рамках $SU(3)$ симметрии.
3. Спор об экзотическом состоянии $\pi_1(1400)$ в $\eta\pi^-$ системе идет даже внутри самих экспериментальных групп, что вызывает подозрение научного сообщества.
4. Если будет доказано, что в $\eta\pi^0$ системе наблюдается (или не наблюдается) $\pi_1(1400)$ резонанс (независимо от его интерпретации), то это поставит точку в этом споре.

Содержание

- 1. $\eta\pi^0$ study before 2005 г.**
- 2. Analysis of $(\pi^+\pi^- \pi^0 \pi^0)$ system**
- 3. PWA and MDF of $\eta\pi^0$ system**
- 4. Conclusion and questions**
- 5. Outside slides**

Систему $\eta\pi^0$ можно изучать в 2-х модах распада η мезона

$\eta\pi^0$

Crystal Barrel, GAMS, E852-IU

$\eta \rightarrow 2\gamma, \text{ BR}(\eta \rightarrow 2\gamma) = 39.4\%$

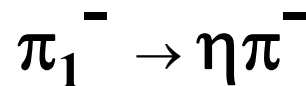
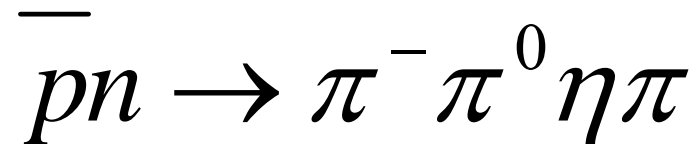
$\eta\pi^0$

E852 - MSU

$\eta \rightarrow \pi^+ \pi^- \pi^0, \text{ BR}(\eta \rightarrow \pi^+ \pi^- \pi^0) = 28\%$

Crystal Barrel experiment

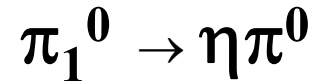
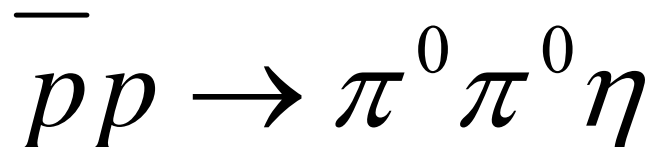
$\eta \pi^-$, A.Abele et al., Phys.Lett.B423 (1998) 175



$M = 1400 \pm 20 \pm 20$ MeV

$\Gamma = 310 \pm 50 (+50/-30)$ MeV

$\eta \pi^0$, A.Abele et al., Phys.Lett.B446 (1999) 349

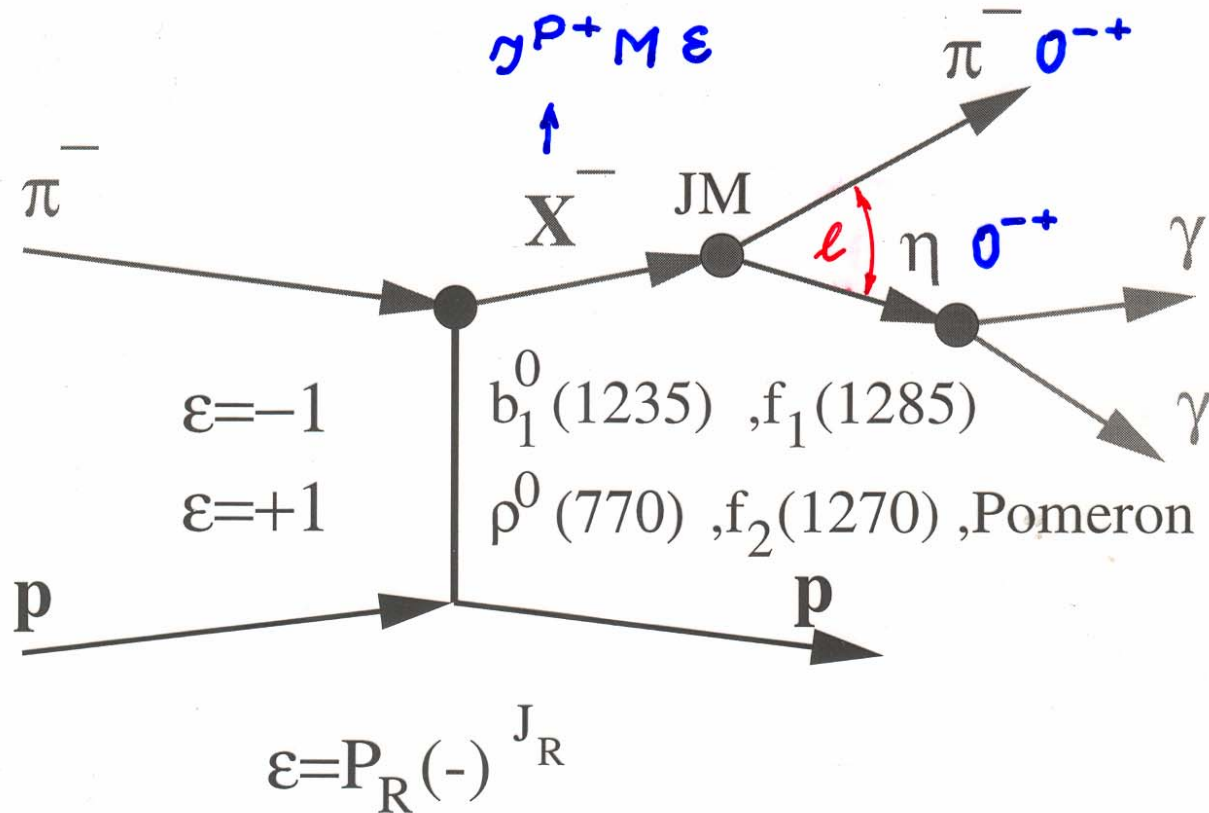


$M = 1360 \pm 25$ MeV

$\Gamma = 220 \pm 90$ MeV

$$I \, G \, (J \, PC) = 1 - (2^{++}, 1^{-+})$$

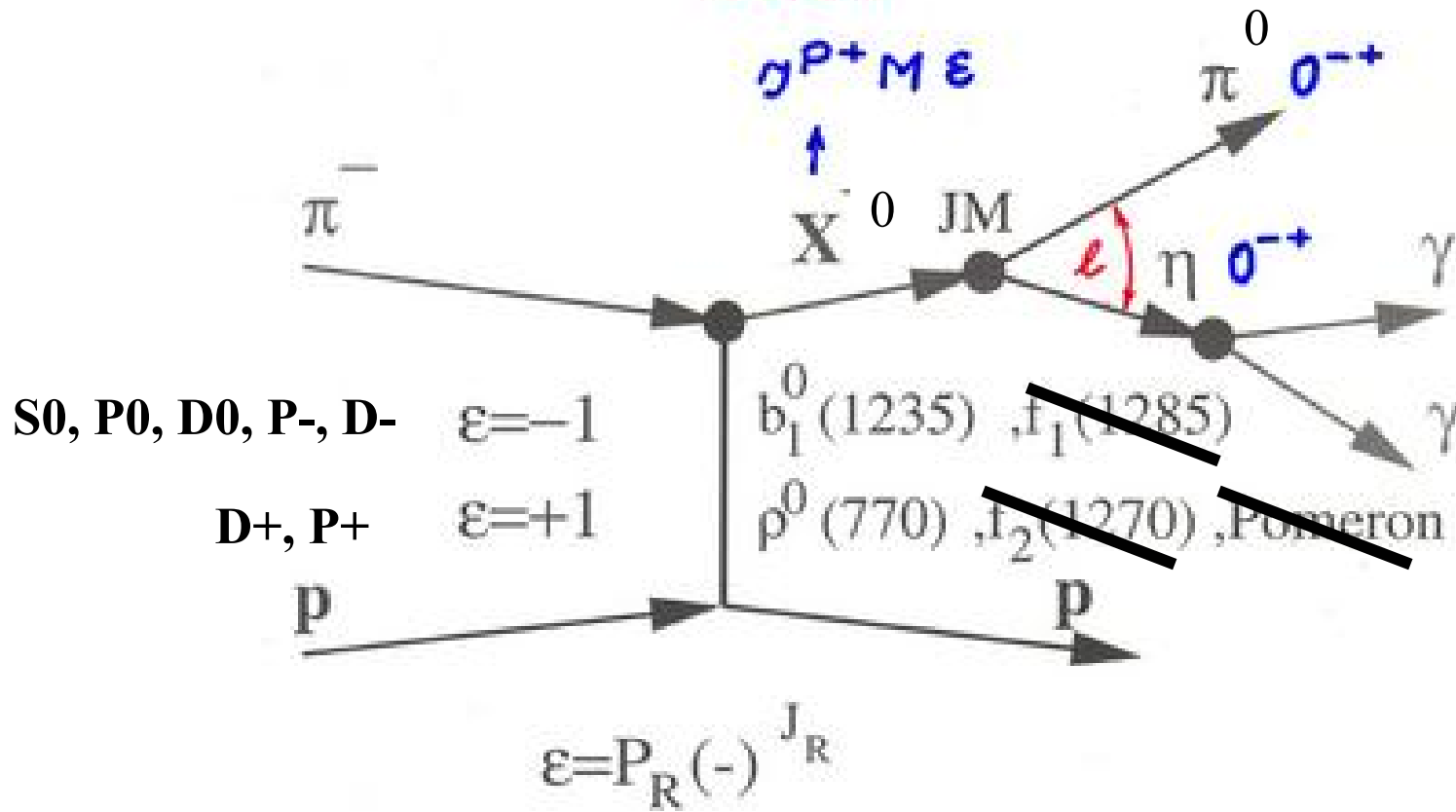
$$X^- = a_2^- (1320) \quad \pi^- P \rightarrow \gamma \pi^- P \\ X^- = \pi^-_1 (1400) ? \quad \hookrightarrow 2\gamma$$



$$I\ G\ (J\ PC) = 1 - (2^{++}, 1^{-+})$$

$$X^0 = a_2^0(1320)$$

$$X^0 = \pi^0_1(1400) ?$$



Regge model: $N \sim E_0^{2\alpha(0) - 2}$

GAMS ,**S.A.Sadovsky**

D_+ : $N \sim E_0^{-1}$, $\rightarrow \rho$ - exchange, if $\alpha(0) = 0.5$

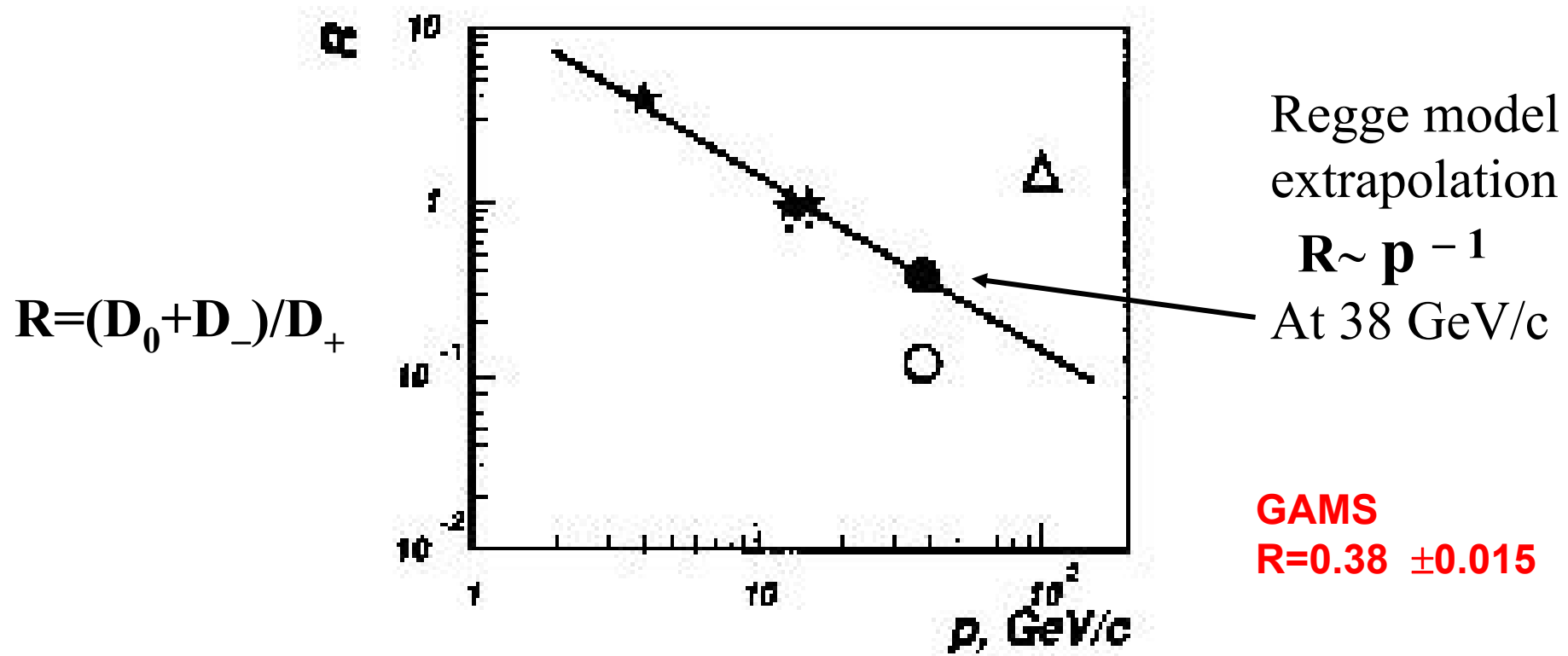
D_0, D_- : $N \sim E_0^{-2}$ $\rightarrow b_1$ - exchange , if $\alpha(0) = 0.$

$R = (D_0 + D_-)/D_+$, So: $R(E_0) \sim E_0^{-1}$

E_0 , GeV/c	Regge model	GAMS $\eta \rightarrow 2\gamma$		
38.	0.4	0.38 ± 0.015		
18.	0.84			

Точнее, $\alpha_\rho(0) = 0.57$, $\alpha_{b1}(0) = -0.37 \rightarrow R(E_0) \sim E_0^{-2}$

$\pi^- p \rightarrow \eta \pi^0 n$ at 38 GeV/c, GAMS



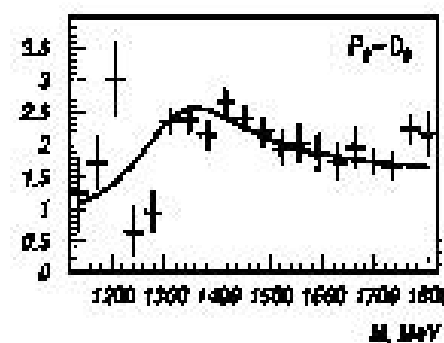
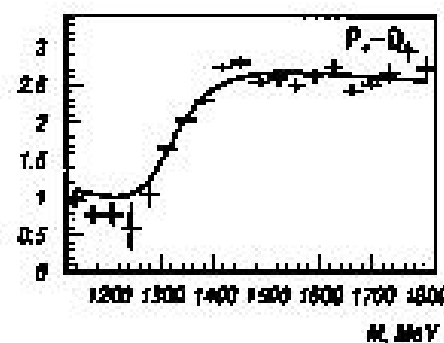
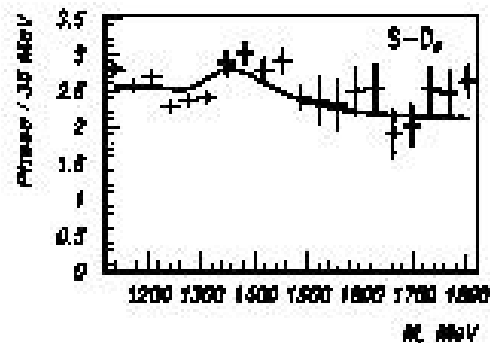
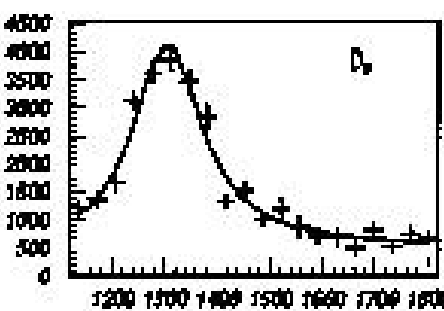
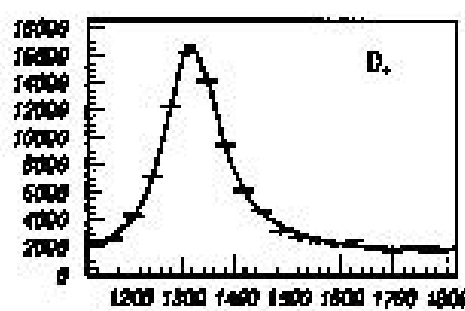
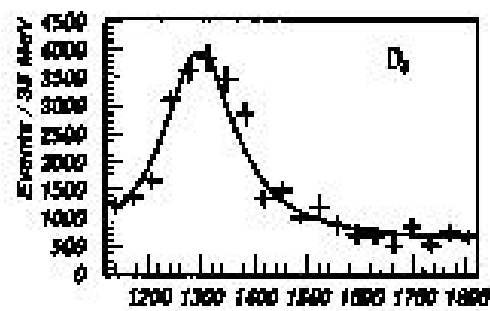
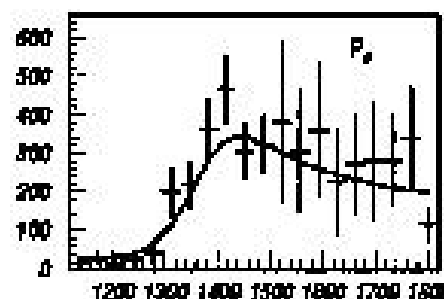
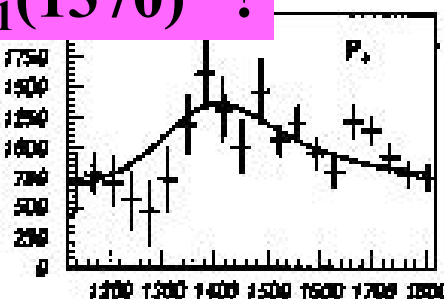
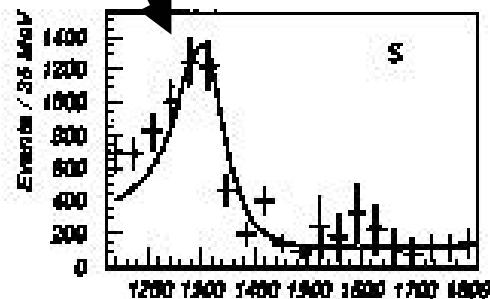
GAMS:

1. $R = 0.38 \pm 0.15$ for one solution among eight solutions
 2. For this solution R is maximum !!!
- **критерий для отбора физического решения**

$a_0(1300)$!

GAMS: After selection of the physical solution: $\pi^- p \rightarrow \eta \pi^0 n$ at 38 GeV/c, GAMS

$\pi_1(1370)$!

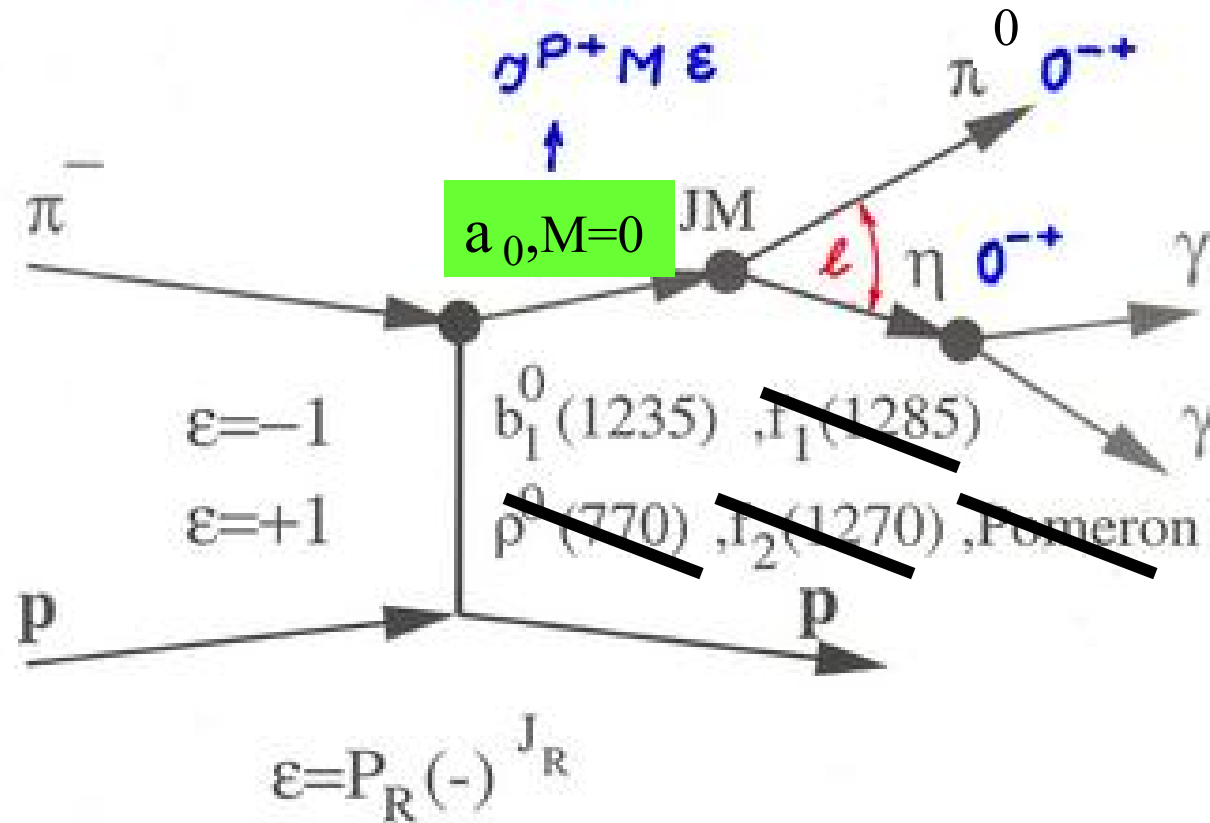


Statistic is about 100000 events

$$I\ G\ (J\ PC) = 1^-(0^{++})$$

$a_0(980)$

$a_0(1300)$?



If we see $a_0(980)$, why we don't see $a_0(1320)$ in E852 data?

GAMS ,

$\pi^- p \rightarrow \eta \pi^0 n$

$\pi_1(1400)$, $J^{PC}=1^{-+}$

GAMS claims, $\pi_1 \rightarrow \eta \pi^0$

$M=1370$ MeV (fixed from BNL data $\pi_1 \rightarrow \eta \pi^-$)

$\Gamma=300 \pm 125$ MeV

$M=1308 \pm 6$ MeV , $a_0 \rightarrow \eta \pi^0$

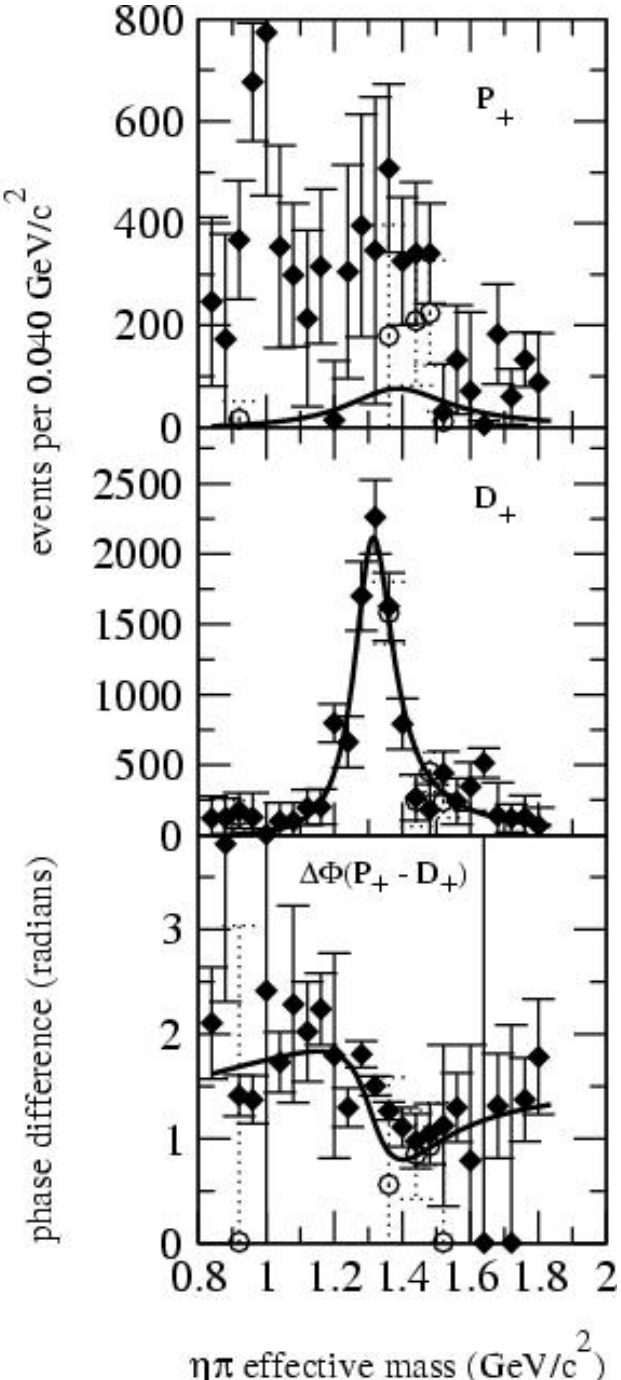
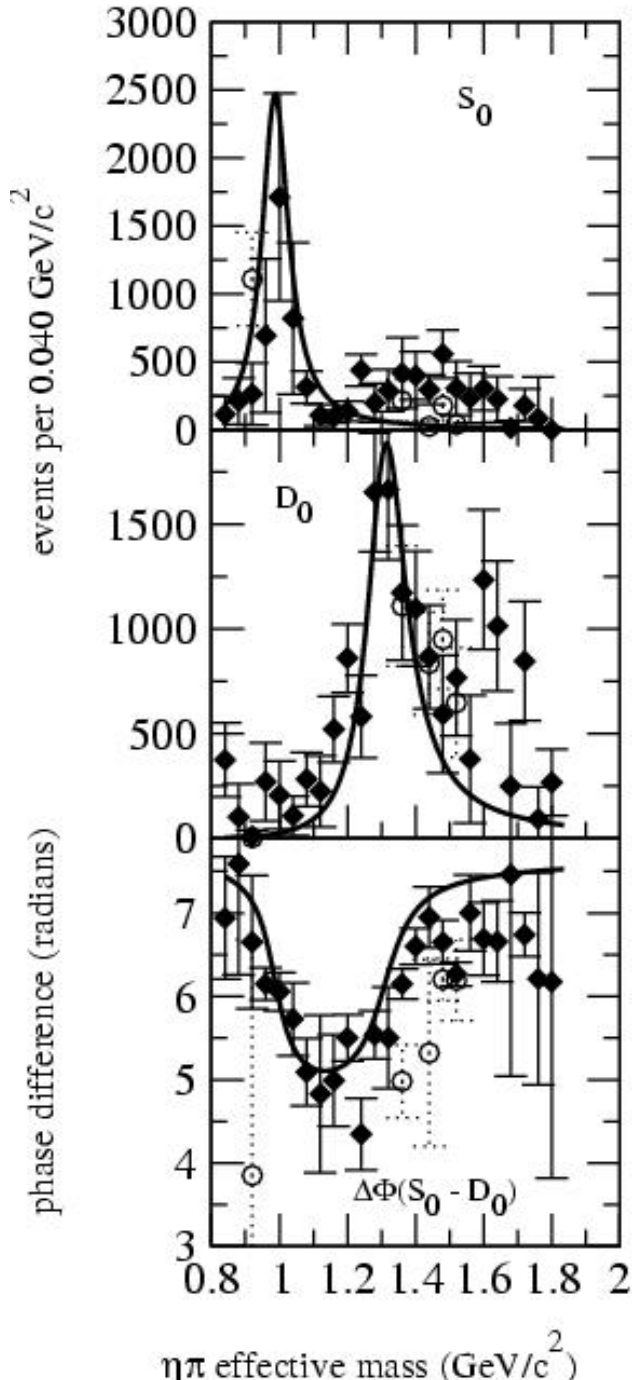
$\Gamma=101 \pm 14$ MeV

S.A.Sadovsky, Nucl. Phys. A655(1999) 131c

$\eta\pi^0,$
 $\eta \rightarrow 2\gamma$
(39.4%)

A.R.Dzierba et al. $\pi-p \rightarrow \eta\pi^0 n$, $\eta \rightarrow 2\gamma$, Phys. Rev. D67(2003)094015
45000 events

**A.R.Dzierba et
al. π -p $\rightarrow\eta\pi^0$ n,
 $\eta\rightarrow 2\gamma$
PWA, low |t|
MDFit of H(LM)**



**A.R.Dzierba
et al.**
 π -p $\rightarrow \eta\pi^0n$,
 $\eta \rightarrow 2\gamma$
PWA+MDFit

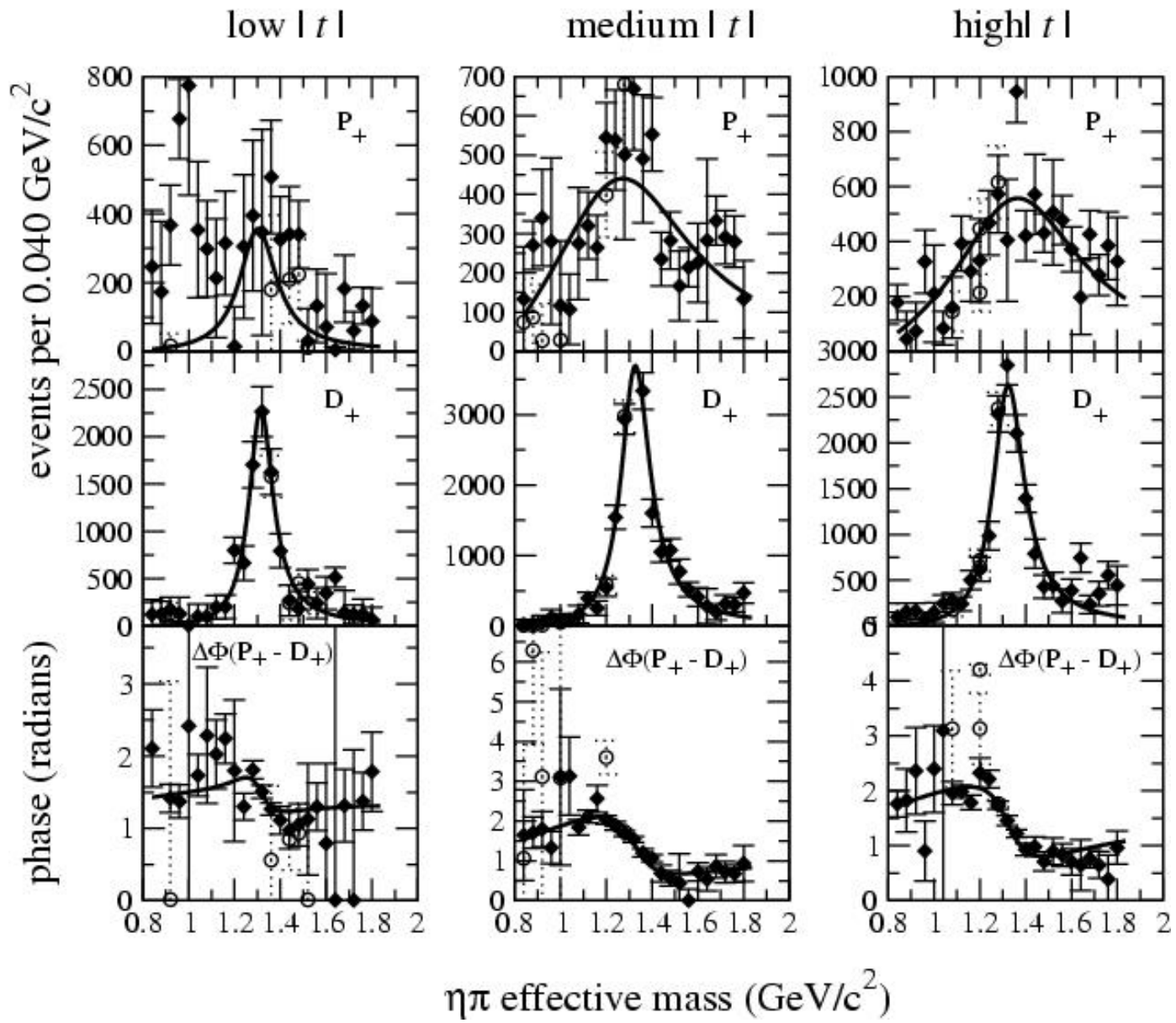


Table of the P+ bump parameters

A.R.Dzierba et al. π -p \rightarrow $\eta\pi^0$ n, $\eta\rightarrow 2\gamma$, Phys.Rev. D67(2003)094015

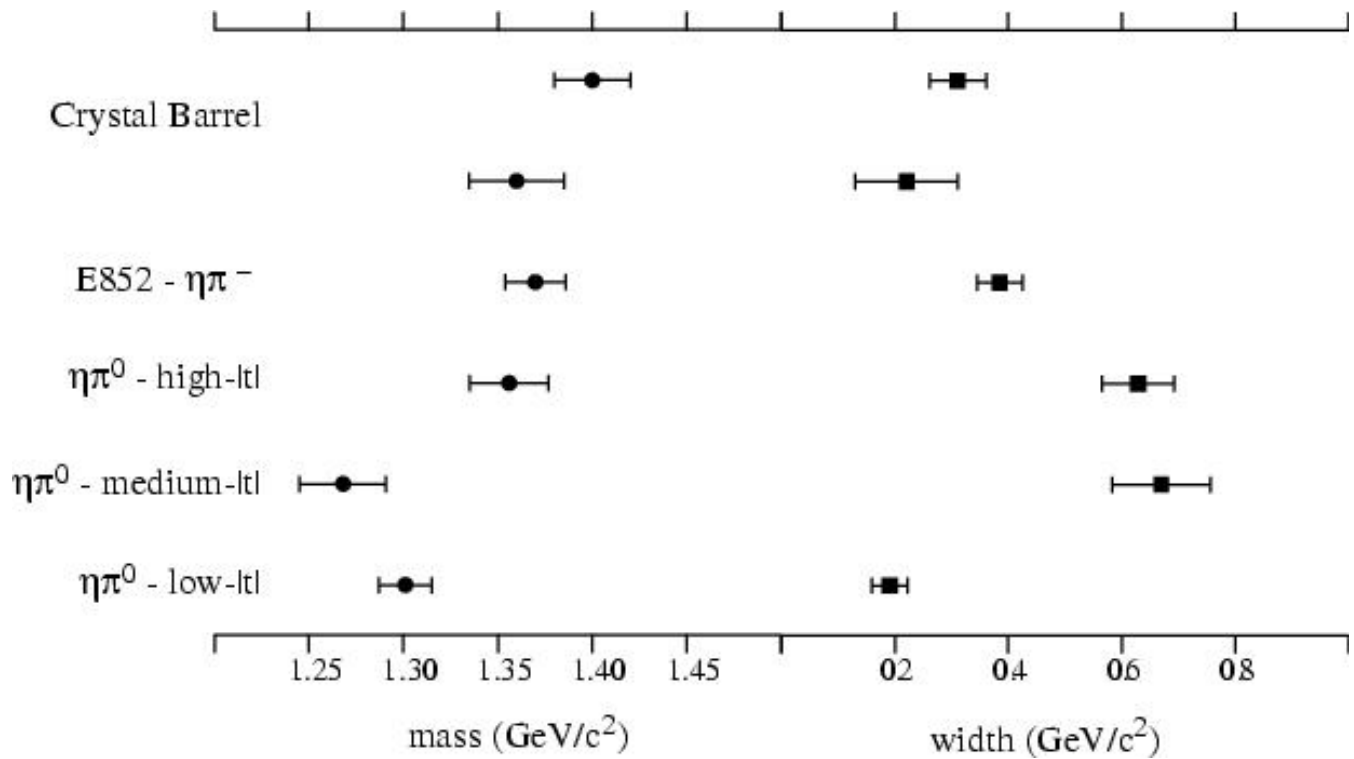
	all t 	low- t 	medium- t 	high- t
M_{a2}	1.326	1.316	1.329	1.326
	± 0.0023	± 0.0049	± 0.0029	± 0.0036
Γ_{a2}	0.169	0.127	0.154	0.166
	± 0.0069	± 0.014	± 0.0082	± 0.01
M_X	1.272	1.301	1.268	1.356
	± 0.017	± 0.014	± 0.023	± 0.021
Γ_X	0.66	0.19	0.67	0.629
	± 0.048	± 0.032	± 0.087	± 0.064
χ^2	3.23	2.13	1.51	1.60



Remember this result

$\pi 1(1400)$

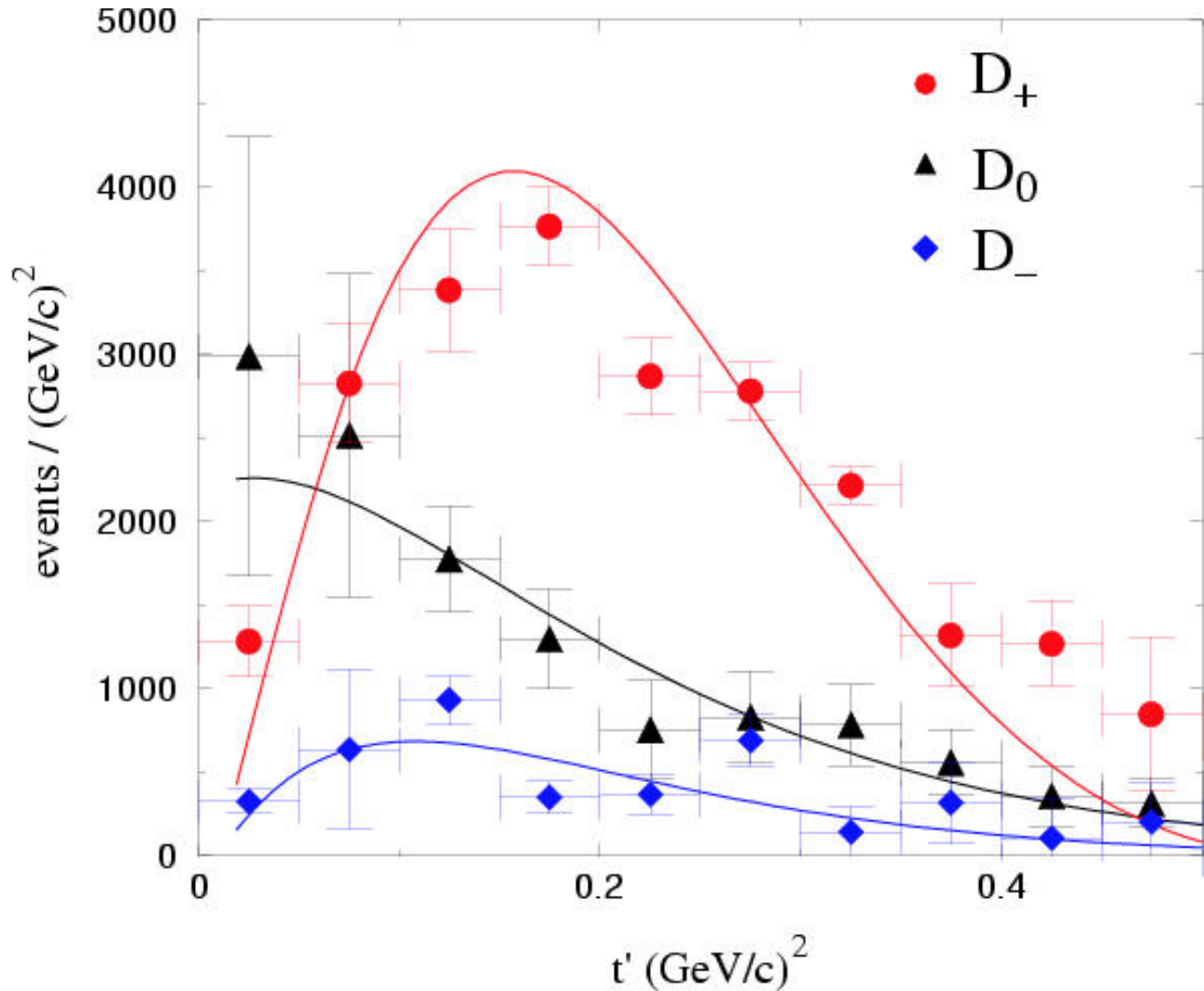
A.R.Dzierba
et al.
 $\pi^- p \rightarrow \eta \pi^0 n$,
 $\eta \rightarrow 2\gamma$
Comparison



А)Зависимость параметров пика в $P+$ волне от переданного импульса
В) Большая ширина 200-600 МэВ
не позволили авторам заявить о резонансе при 1300-1400 МэВ

D^0 волна дает пик при $t' \rightarrow 0 !!!$

**A.R.Dzierba
et al.**
 $\pi-p \rightarrow \eta\pi^0n$,
 $\eta \rightarrow 2\gamma$
 t' -dependence



$$R = 0.72 \pm 0.12$$

It is obvious that $R = (D_0 + D_-)/D_+$ depends on t' acceptance cut

Regge model: $N \sim E_0^{2\alpha(0) - 2}$

GAMS ,**S.A.Sadovsky**

D_+ : $N \sim E_0^{-1}$, $\rightarrow \rho$ - exchange, if $\alpha(0) = 0.5$

D_0, D_- : $N \sim E_0^{-2}$ $\rightarrow b_1$ - exchange , if $\alpha(0) = 0.$

$$R = (D_0 + D_-)/D_+, \quad \text{So: } R(E_0) \sim E_0^{-1}$$

E_0 , GeV/c	Regge model	GAMS $\eta \rightarrow 2\gamma$	E852-IU $\eta \rightarrow 2\gamma$	E852- MSU $\eta \rightarrow \pi^+ \pi^- \pi^0$
38.	0.4	0.38 ± 0.015		
18.	0.84		0.72 ± 0.12	?

Точнее, $\alpha_\rho(0) = 0.57$, $\alpha_{b1}(0) = -0.37 \rightarrow R(E_0) \sim E_0^{-2}$

Сравнение анализа двух наборов данных $\eta\pi^0$

A) $\eta\pi^0 \rightarrow 4\gamma$ $\eta \rightarrow 2\gamma, \pi^0 \rightarrow 2\gamma$

Недостатки:

- 1) Источник фоновых событий – распад неучтенных $\pi^0 \rightarrow 2\gamma$
- 2) Неизвестно, что вершина взаимодействия (точка рождения фотонов) находится в мишени

Достоинства:

- 1) $\text{BR}(\eta \rightarrow 2\gamma) = 39.4\% > \text{BR}(\eta \rightarrow \pi^+\pi^-\pi^0) = 28\%$
- 2) Большая статистика: 45000 событий (A) > 23490 событий (B)

B) $\eta\pi^0 \rightarrow \pi^+\pi^-\pi^0\pi^0, \eta \rightarrow \pi^+\pi^-\pi^0,$

Недостатки:

- 1) Фон от распада $\omega \rightarrow \pi^+\pi^-\pi^0, \rho\rho \rightarrow \pi^+\pi^-\pi^0\pi^0$

Достоинства:

- 1) По заряженным мезонам установлено, что точка взаимодействия находится в мишени

Критика анализа $\eta\pi^0$ в работе IU A.R.Dzierba et al., Phys. Rev. D67(2003)094015

1. Нет доказательства того, что точка взаимодействия находится в мишени. (Известно, что рождение мезонов интенсивно идет на ядрах в стенках мишени)
2. Выбор физического решения из множественных решений выполнен некорректно
3. Анализ влияния протечки D^+ волны в P^+ волну сделан без учета углового разрешения установки

$\eta\pi^0,$ $\eta \rightarrow \pi^+ \pi^- \pi^0$ $\pi^0 \rightarrow 2\gamma$ $\text{BR}(\eta \rightarrow 2\gamma) = 28\%$

V.L.Korotkikh et al.(E852) $\pi^- p \rightarrow \eta \pi^0 n$, $\eta \rightarrow \pi^+ \pi^- \pi^0$
HADRON99, Nucl. Phys. A675(2000)413c

Set waves

L Allowed waves:

Notation	J	P	C	M	ε
S_0	0	+	+	0	-
P_0	1	-	+	0	-
P_-	1	-	+	1	-
D_0	2	+	+	0	-
D_-	2	+	+	1	-
P_+	1	-	+	1	+
D_+	2	+	+	1	+

background

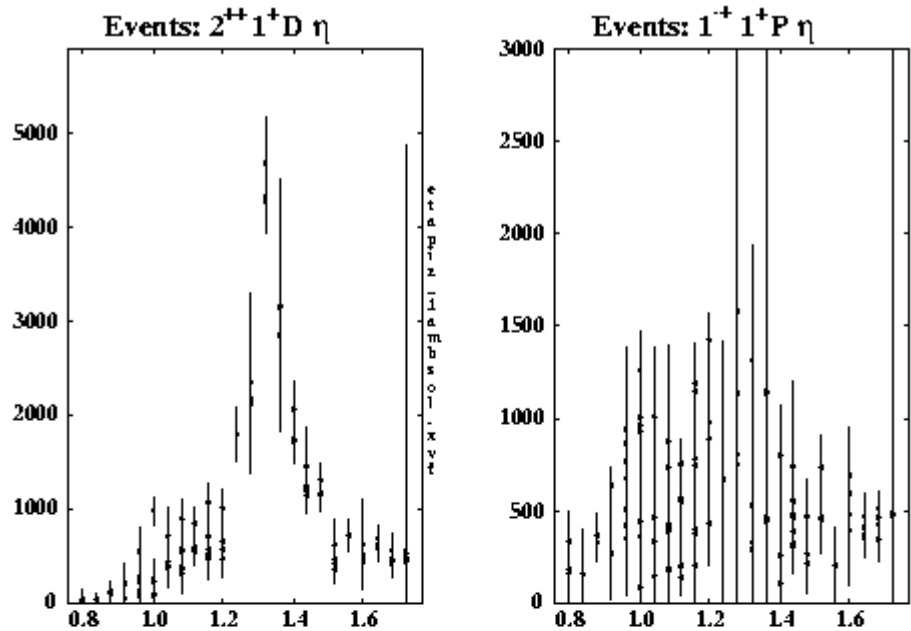
γ^{PC} :

$1^{-+} \rightarrow$

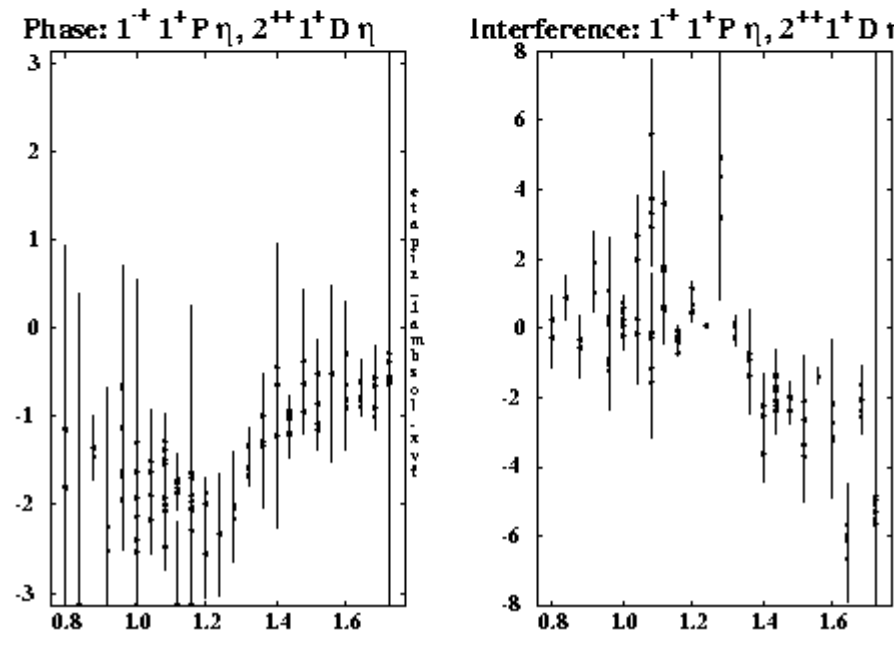
$2^{++} \rightarrow$

Free background

$\text{cl} > 0.10$
18712 data
180294 acc
900000 raw



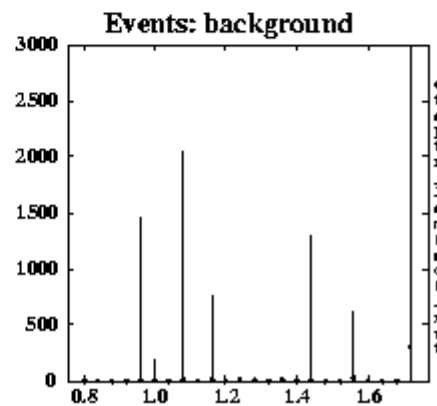
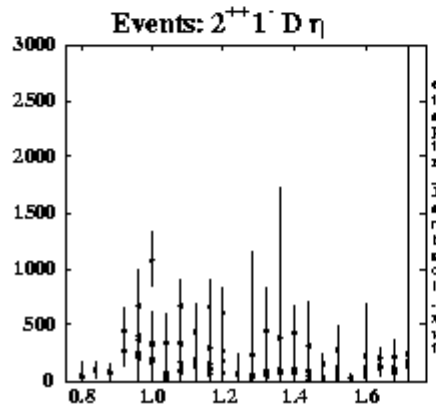
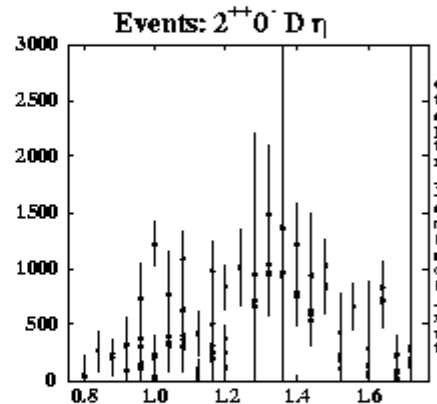
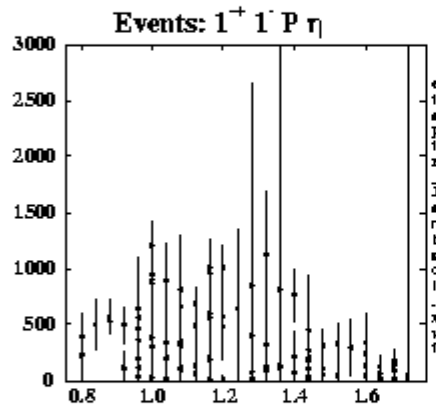
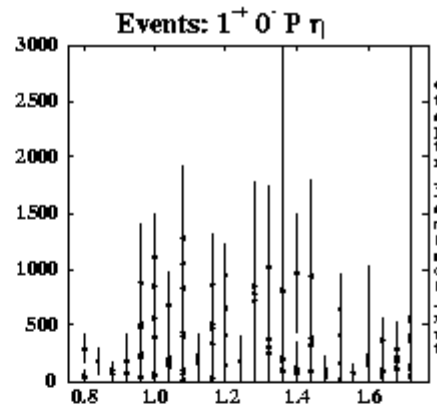
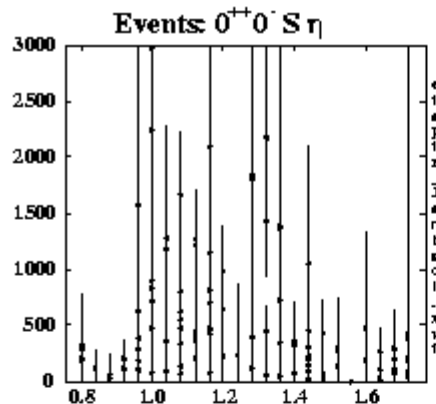
PWA
mass bin=
40 MeV



NPE waves

2000 year

Free background



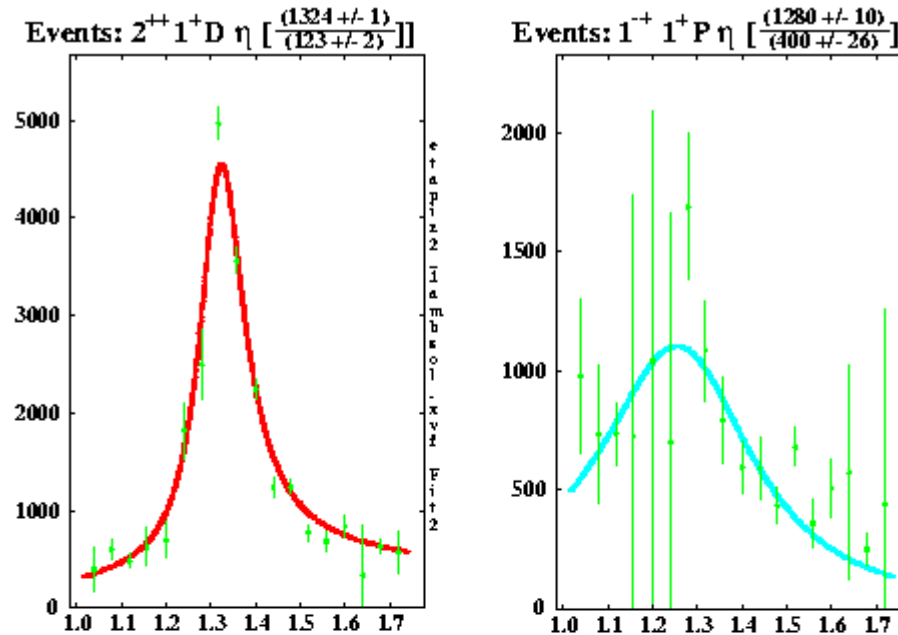
UNPE waves

2000 year

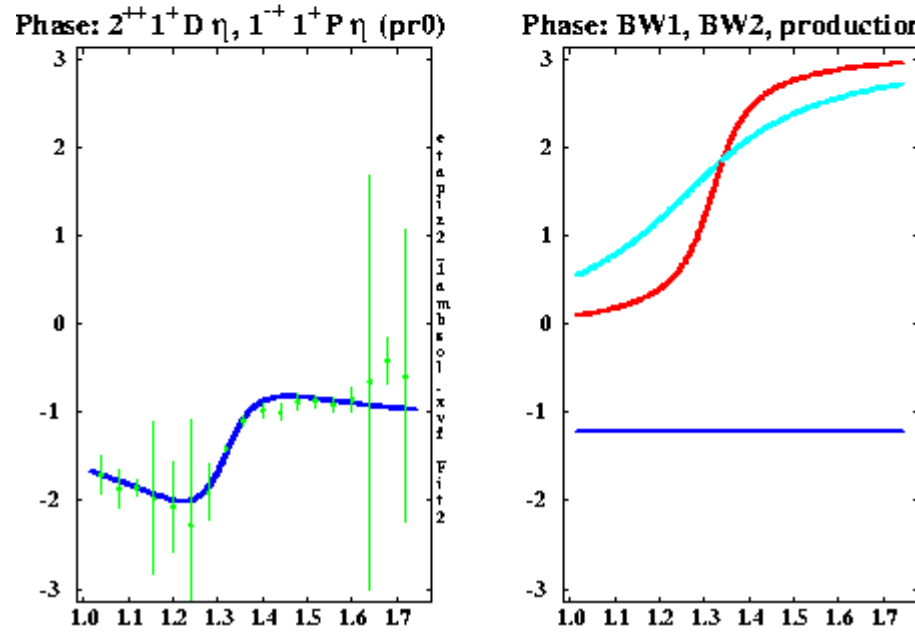
Free background

Mass dependent fit of $\eta\pi^0$

1. Two BW
2. Average of amb. solutions



Fit is the same as
in analysis of
 $\eta\pi^-$



2000 year

Free background

Comparison of $\eta\pi^-$ and $\eta\pi^0$

$\eta\pi^-$ PWA + MDF

$$\text{Mass } (a_2) = (1317 \pm 1 \pm 2)$$

$$\text{Width}(a_2) = (127 \pm 2 \pm 2)$$

$$\text{Mass } (\pi_1) = (1370 \pm 16 \begin{array}{l} +50 \\ -30 \end{array})$$

$$\text{Width}(\pi_1) = (385 \pm 40 \begin{array}{l} +65 \\ -105 \end{array})$$

$\eta\pi^0$ PWA + MDF

$$\text{Mass } (a_2) = (1326 \pm 4 \begin{array}{l} +19 \\ -11 \end{array}, \begin{array}{l} +24 \\ -56 \end{array})$$

$$\text{Width}(a_2) = (119 \pm 5 \begin{array}{l} +36 \\ -19 \end{array}, \begin{array}{l} +140 \\ -59 \end{array})$$

$$\text{Mass } (\pi_1) = (1280 \pm 24 \begin{array}{l} +30 \\ -45 \end{array}, \begin{array}{l} +70 \\ -50 \end{array})$$

$$\text{Width}(\pi_1) = (526 \pm 81 \begin{array}{l} 0 \\ -286 \end{array}, \begin{array}{l} 34 \\ -326 \end{array})$$

V.L.Korotkikh et al.(E852)
HADRON 99,

Nucl.Phys. A675(2000)413c

2000 year

**Отметим, что результаты анализа $\eta\pi^0$ системы
для всей области переданного импульса**

- A) $\pi^- p \rightarrow \eta\pi^0 n$, $\eta \rightarrow \pi^+\pi^-\pi^0$ (V.L.Korotkikh et al.(E852), 2000)
B) $\pi^- p \rightarrow \eta\pi^0 n$, $\eta \rightarrow 2\gamma$, (A.Dzierba et al. (E852),2003)

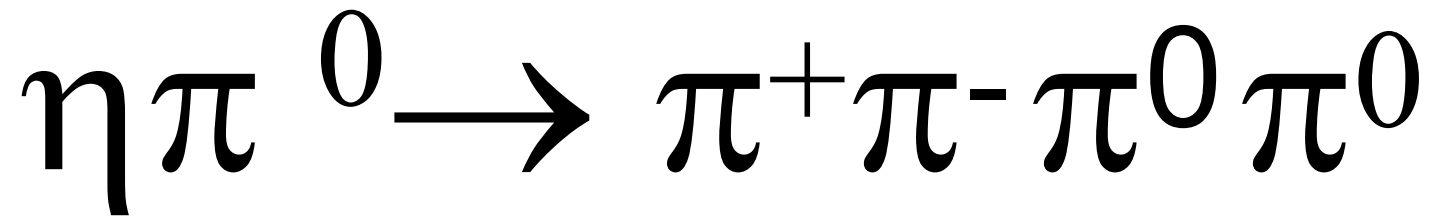
совпадают для пика в Р+ волне:

- A) $M=1280 \pm 24$, $\Gamma=526 \pm 81$
B) $M=1272 \pm 17$, $\Gamma=660 \pm 48$

Вопросы в задаче $\eta\pi^0$

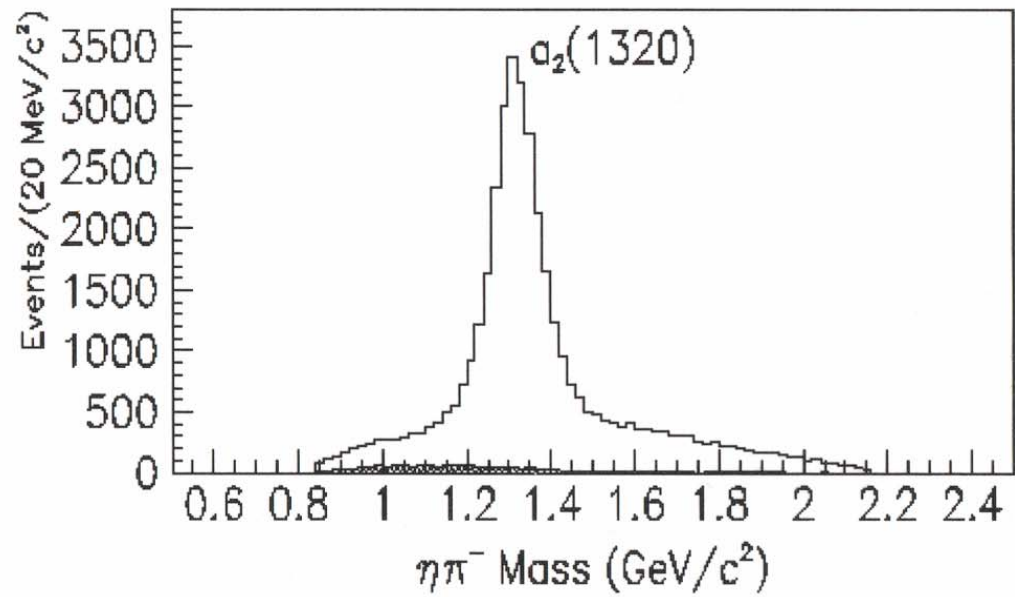
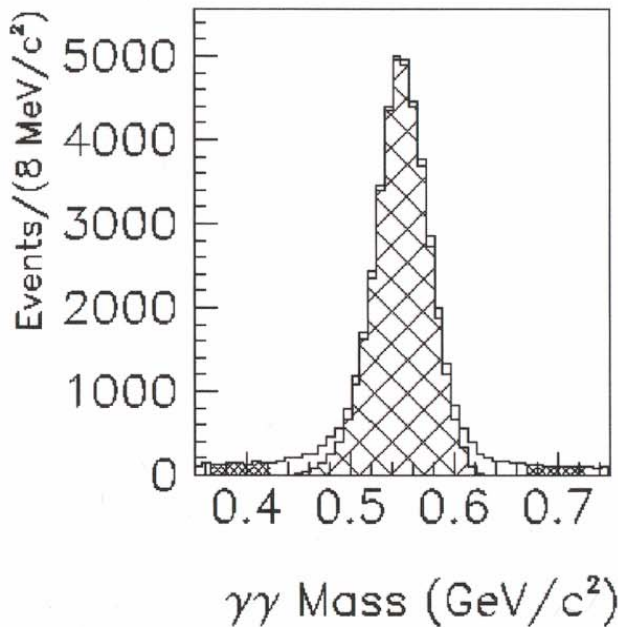
- 1. Корректный учет фонов в ПВА .**
- 2. Наблюдается ли $a_0(1300)$ в S0 волне со стандартными параметрами?**
- 3. Выбор физического решения.**
- 4. Величина отношения R ?**
- 5. Исследование Leakage для оценки систематической ошибки ?**
- 6. Причина пика при 1.0 GeV в P+ волне ?**
- 7. t- зависимость PWA результатов ?**

Analysis of background



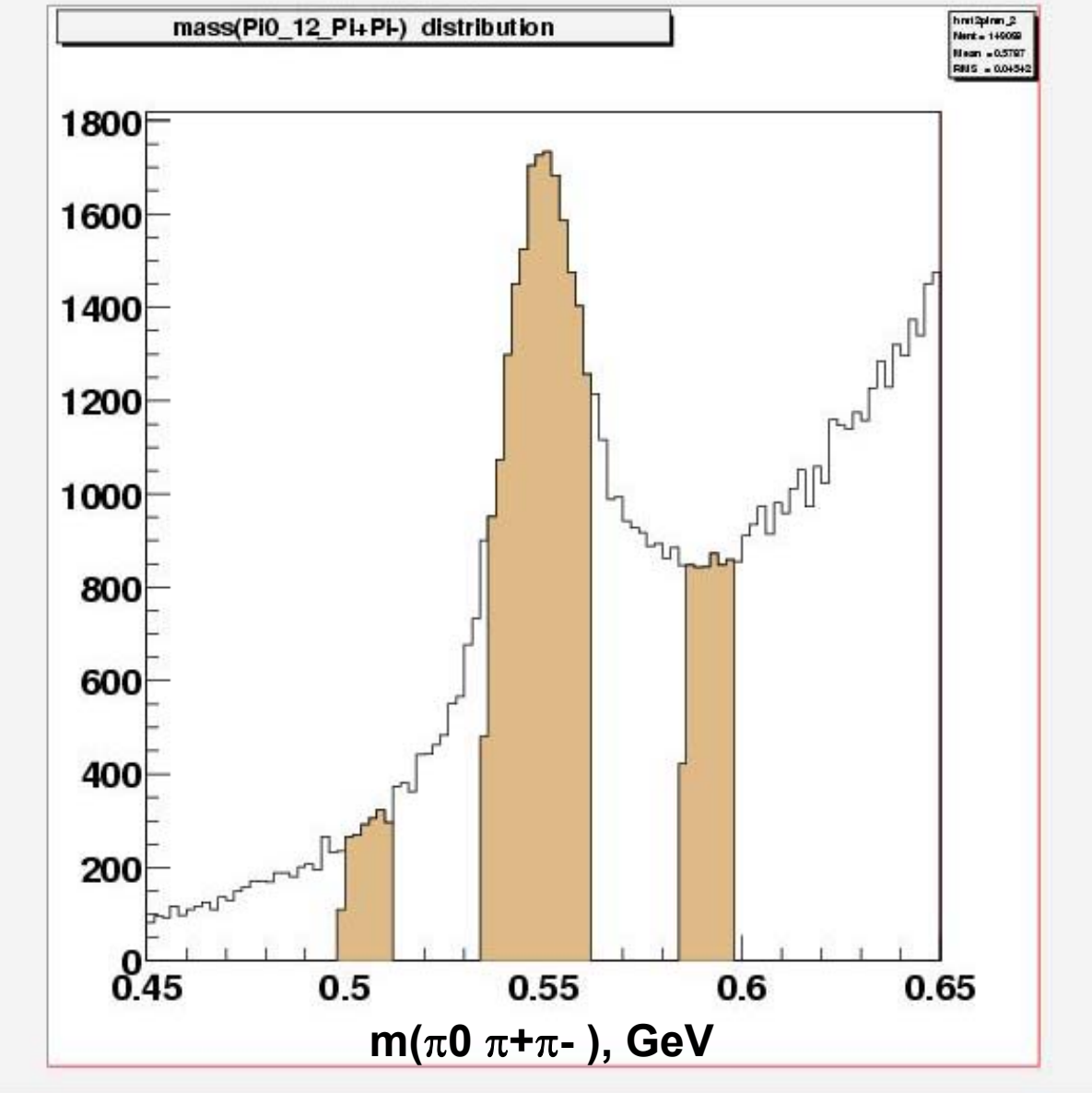
$$\pi^- p \rightarrow \eta \pi^- p, \eta \rightarrow 2\gamma \text{ при } 18 \text{ ГэВ/с}$$

47 200 событий $\rightarrow \eta \pi^- p (\eta \rightarrow 2\gamma)$



- a. Спектр по эффективной массе двух фотонов. Центральная заштрихованная область показывает события после кинематического фита. Заштрихованные полосы по краям показывают области, отобранные для оценки фона.
- b. Распределение по эффективной массе $\eta\pi^-$ -системы. Заштрихованная область показывает вклад фона.

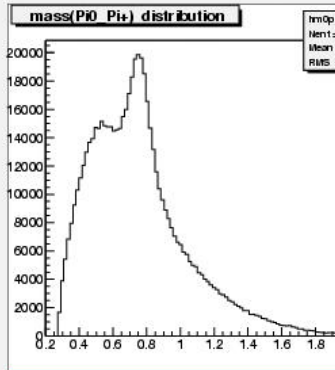
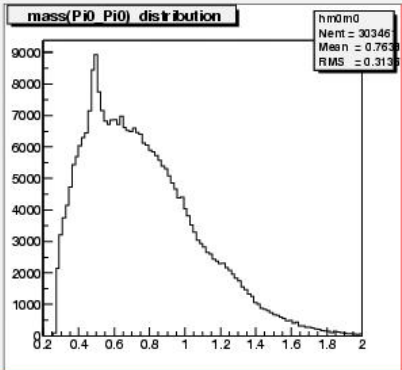
$\pi^- p \rightarrow \eta \pi^0 n$



η - signal and background calculation by the side bands

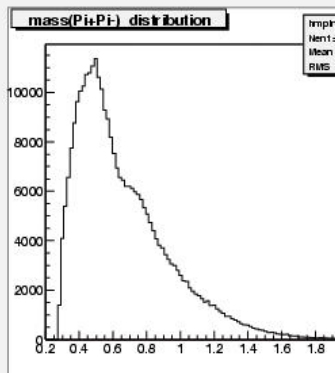
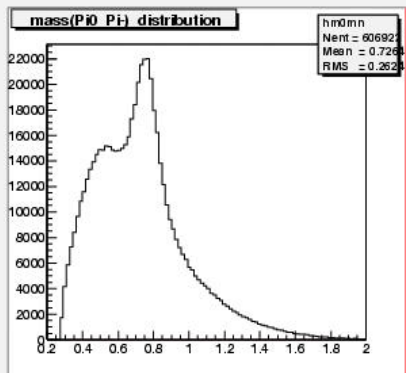
No cut

$\pi \pi$



$m(\pi^0 \pi^0)$

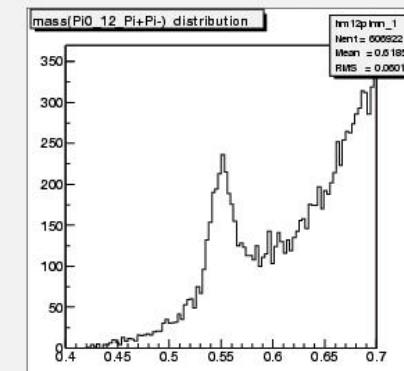
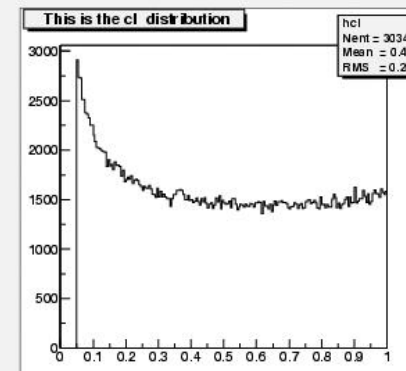
$m(\pi^0 \pi^+)$



$m(\pi^0 \pi^-)$

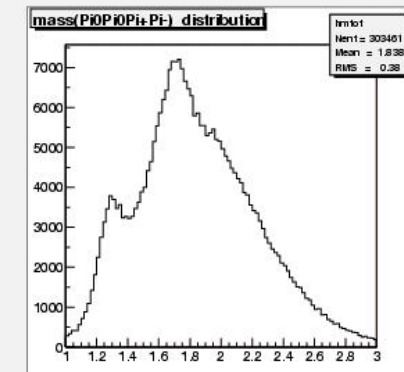
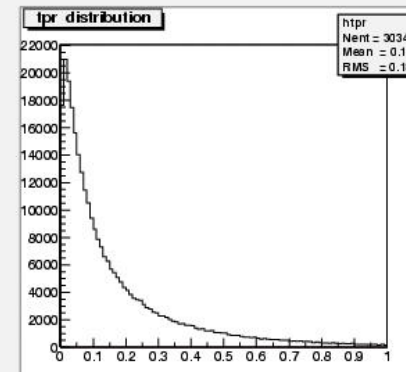
$m(\pi^+\pi^-)$

3π and 4π



cl

$m(\pi^0 \pi^+\pi^-)$

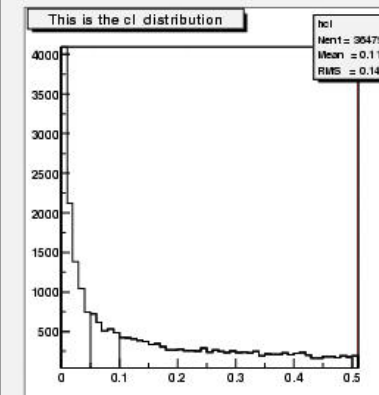
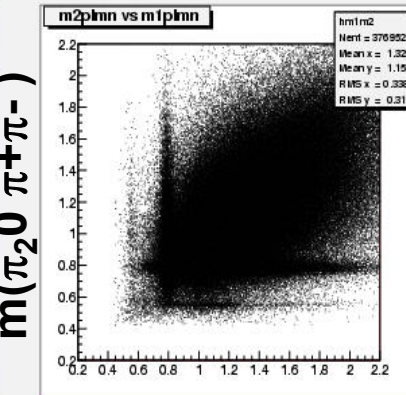
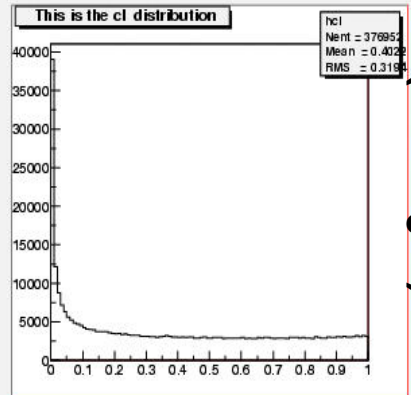


t'

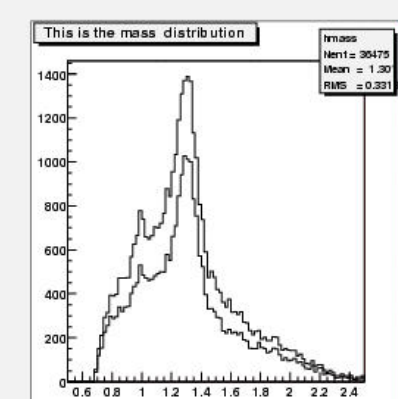
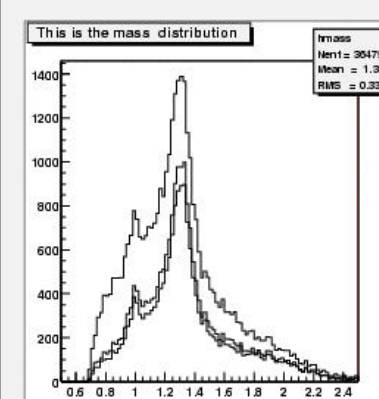
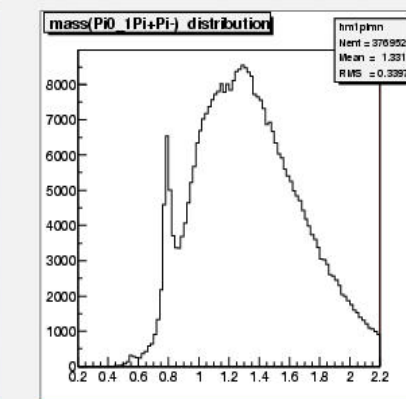
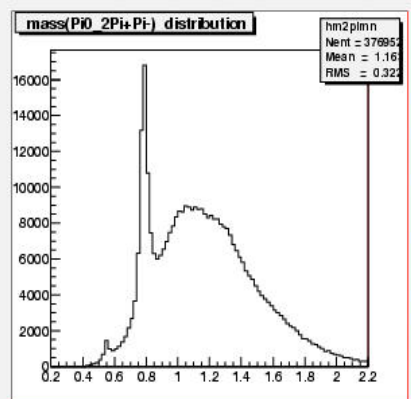
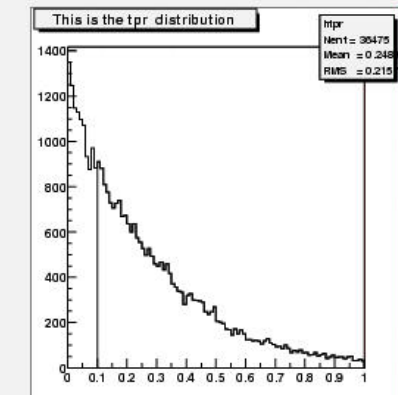
$m(\pi^0 \pi^0 \pi^+\pi^-)$

No cut

$\pi^+ \pi^- \pi^0$



$\eta\pi^0$



$m(\pi_2^0 \pi^+\pi^-)$

$m(\pi_1^0 \pi^+\pi^-)$

$m(\eta\pi^0)$

$m(\eta\pi^0)$

On-line selection

- * Interaction beam
- * Two downstream tracks
- * No recoil trac
- * LGD trigger processor mass $> \pi^0$ mass

Trigger: 0-2-2-(4)
 $\eta\pi^0$

Off-line selection

- * Reconstructed beam
- * No recoil
- * CsI < 160 MeV
- * Two forward reconstructed tracks
- * Vertex in target
- * Exactly 4 photons
- * Kinematical fit selecting events consistent with (n, η, π^0)

Statistics. Data cuts.

Total 0-2-2-X triggers analyzed	108,000,000	Trigger: 0-2-2-(4)
After skimming data 0-2-2-4Photons	6,000,000	$\eta\pi^0$

1.1. Hypothesis EtaPi0	41,108
1.1.1. Hypothesis EtaPi0,(ellips cut+cl>0.01)	26,871

With 3 Pi mass cut

1.2. Hypothesis EtaPi0	31,679	
1.2.1. Hypothesis EtaPi0,(ellips cut, cl>0.10)	23492	→ PWA

Monte Carlo simulation

1.1.MC. EtaPi0, Raw Monte Carlo Events	900,000	→ PWA
1.1.MC. EtaPi0, Acc MC Events,(after SQUAW)	265,972	
1.1.MC. EtaPi0, Acc MC Events,(ellips cut)	196,560	
1.1.1.MC. EtaPi0, Acc MC Events,(ellips cut, cl>0.01)	192,302	
1.2.1.MC. EtaPi0, Acc MC Events,(ellips cut, cl>0.10)	180,294	→ PWA

$\pi^+ \pi^- \pi^0$ - plot

$m(\text{Pi0}_2\pi^+\pi^-)$ vs $m(\text{Pi0}_1\pi^+\pi^-)$

hm1m2

Nent = 100000

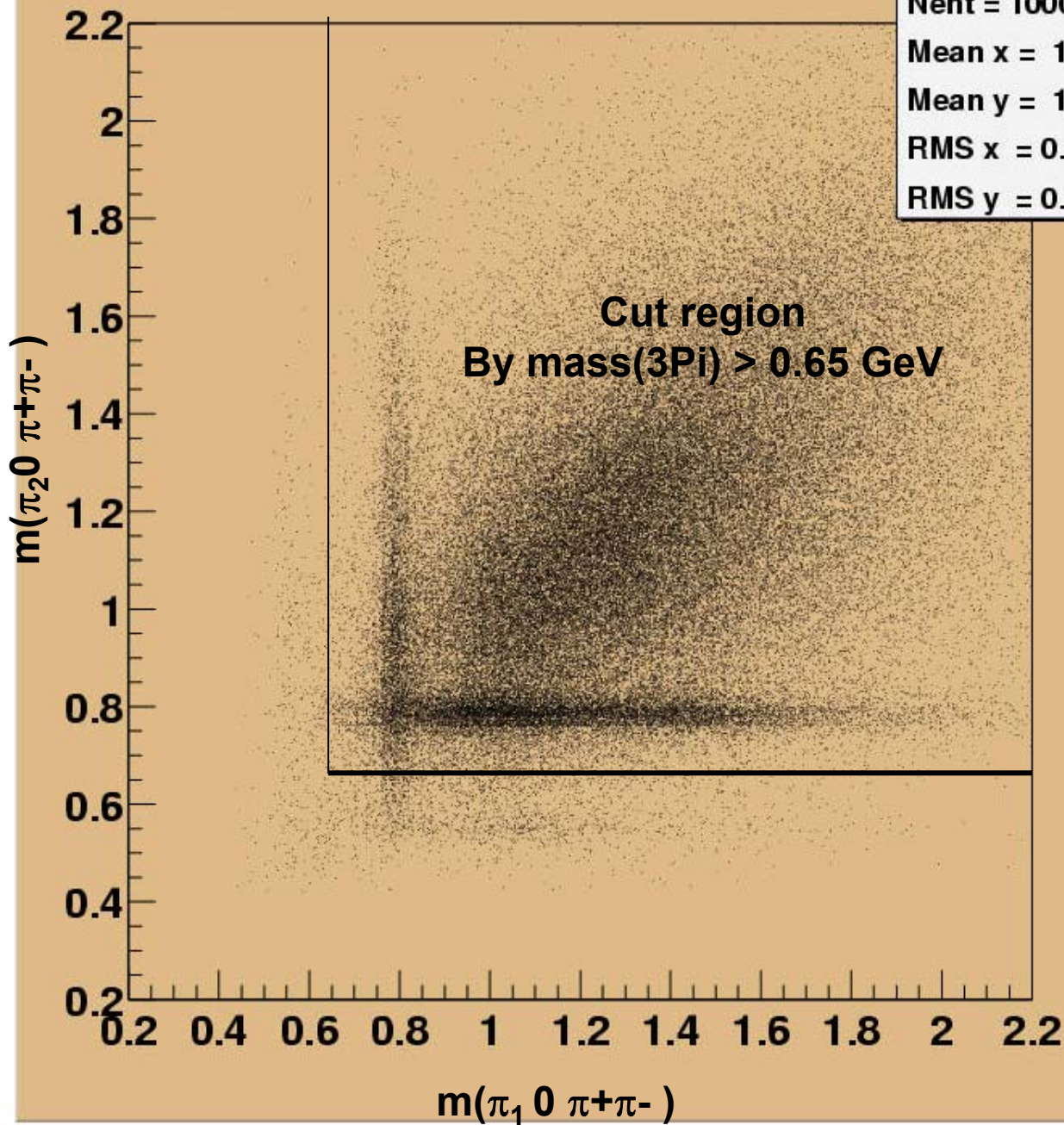
Mean x = 1.317

Mean y = 1.148

RMS x = 0.3384

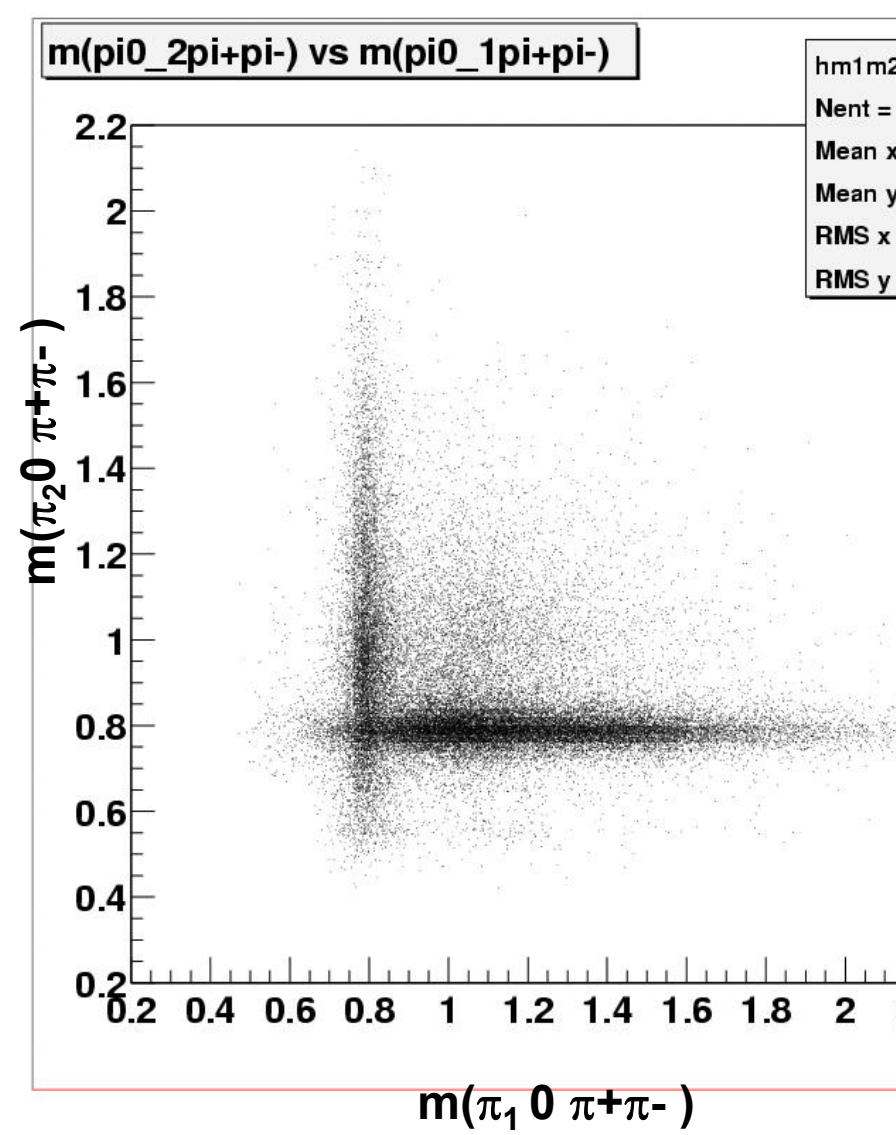
RMS y = 0.3115

3 %

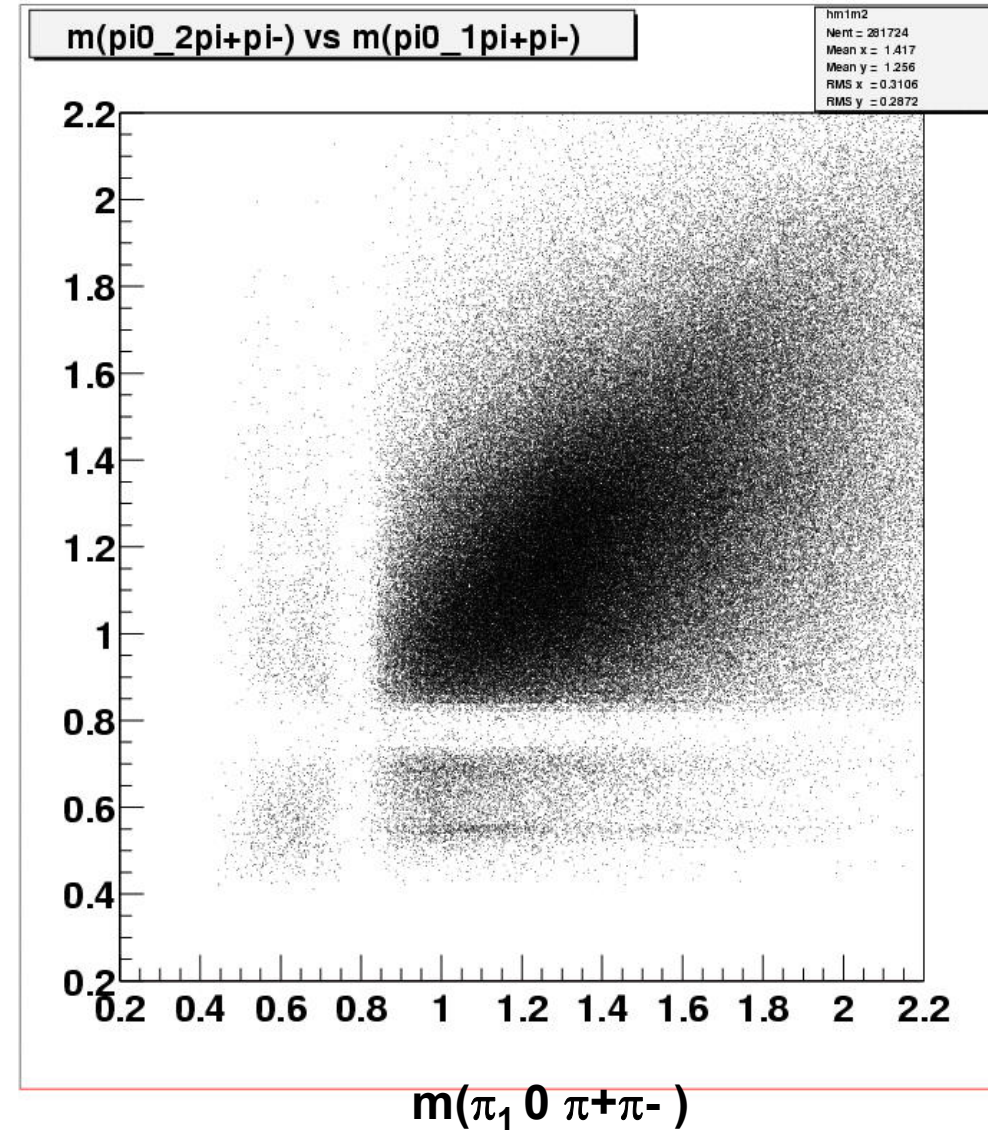


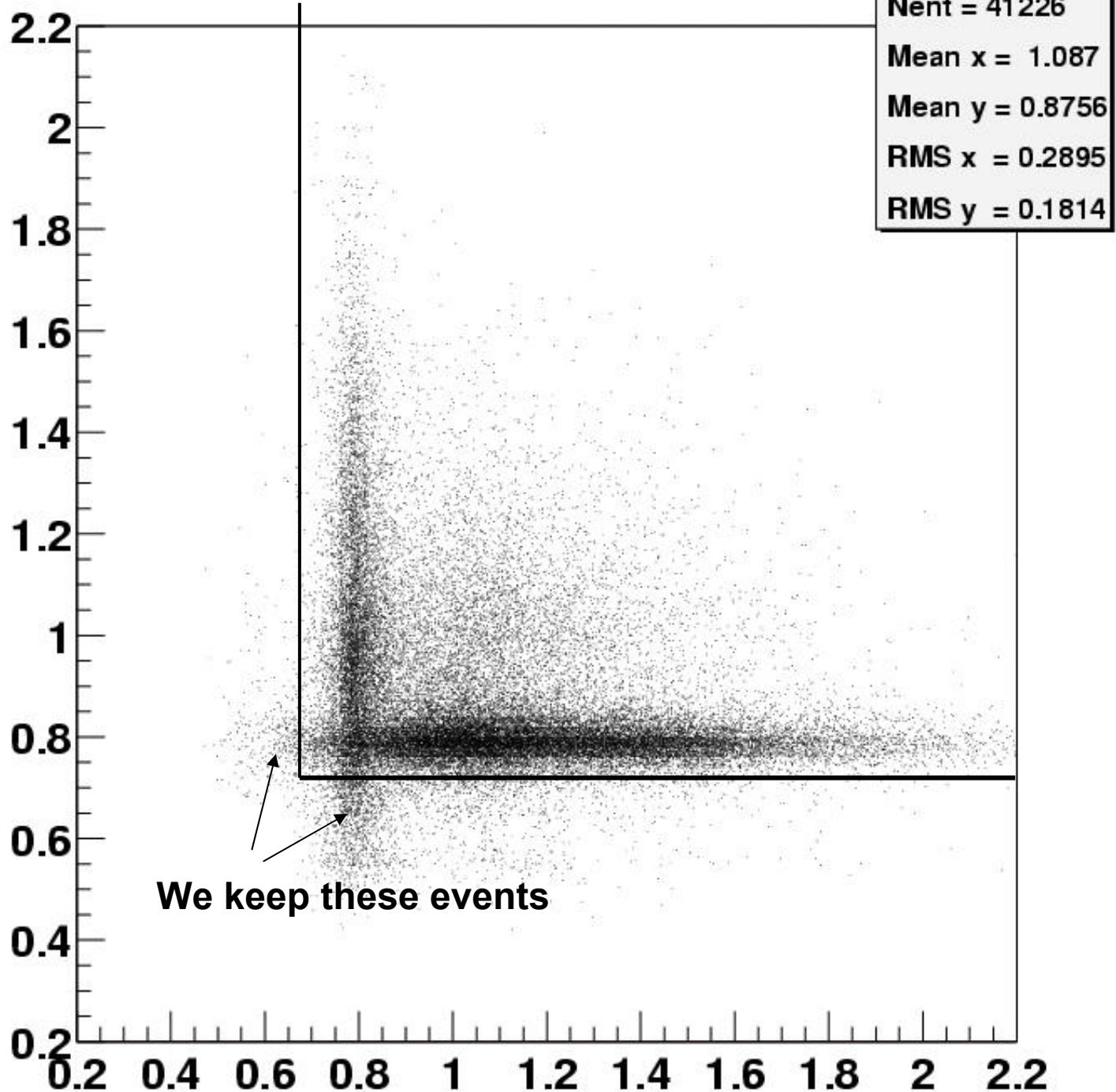
10 %

Extract by squaw
Omg+Pi0, Omg+2Gamma

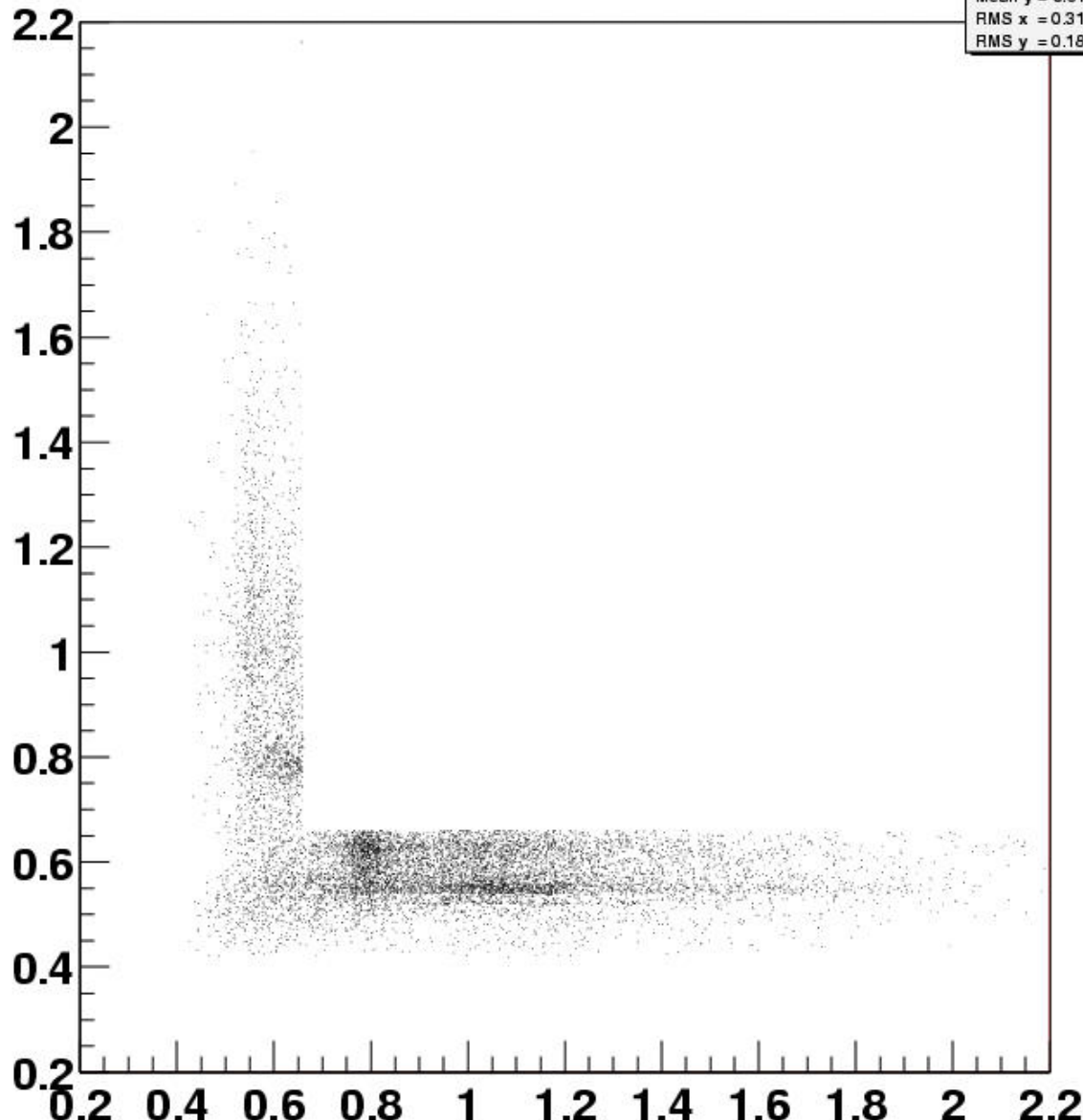


Cut by squaw
Omg+Pi0, Omg+2Gamma





m(pi0_2pi+pi-) vs m(pi0_1pi+pi-)



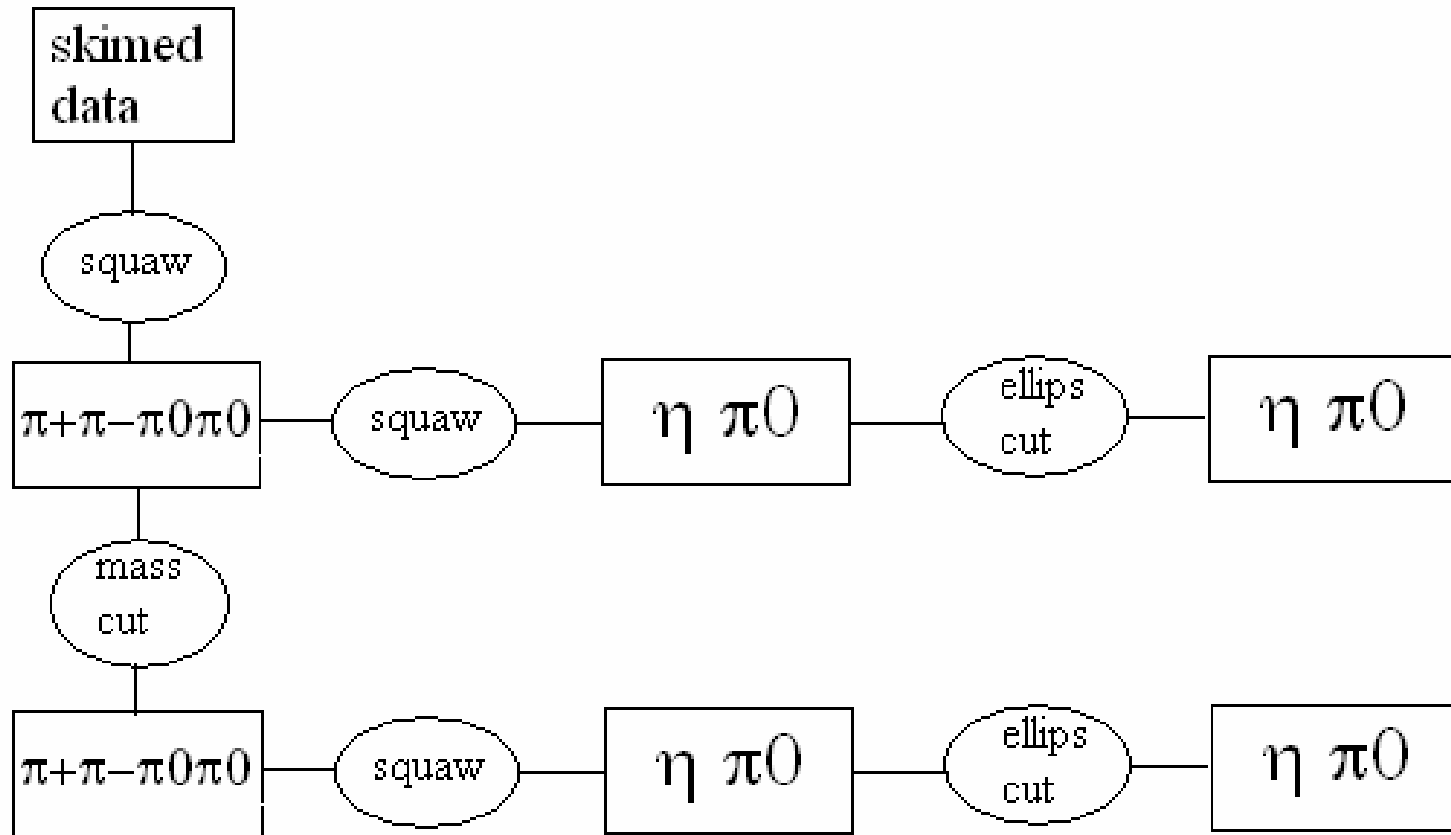
Cuts:

1. Mass(3Pi) > 0.65GeV
2. (Omg+Pi0) by sq97
3. (Omg +2Gamma)
4. K0 short -> Pi0Pi0

and add:

Omg->Pi0PI+Pi-
at mass(3Pi) < 0.65
which was deleted
by sq97

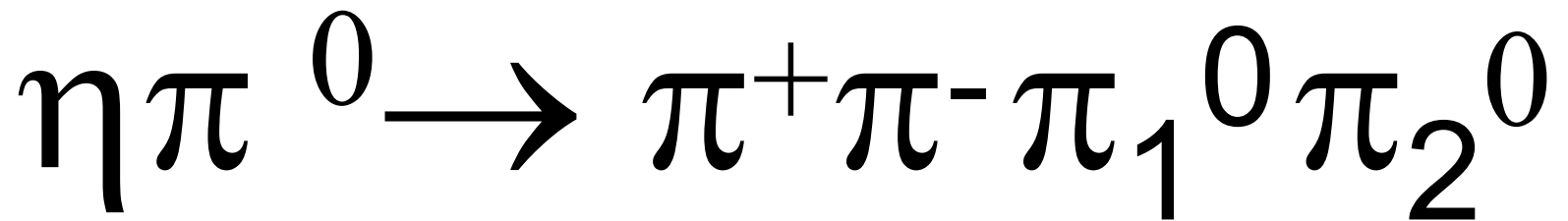
Event selection



Number of the selected events

Skimed data 0-2-2-4 (6000000)	No cut	Mass cut	Ellips cut	cl>0.01
$\pi^+\pi^-\pi^0\pi^0$	3973000	85228		
$\eta\pi^0$	41108		31504	26871
$\eta\pi^0$		35784	31679	23492

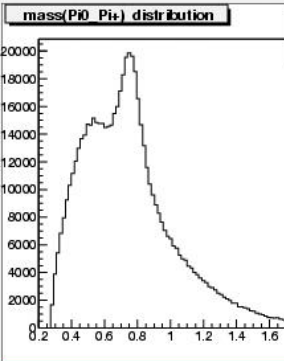
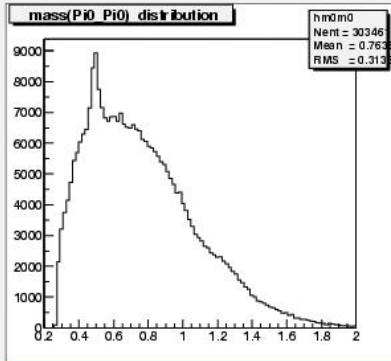
Distributions of mass with cuts



No cut

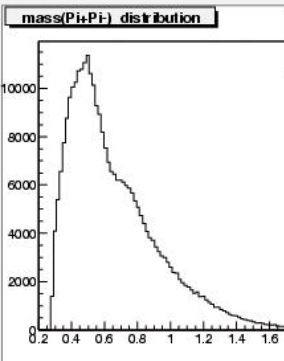
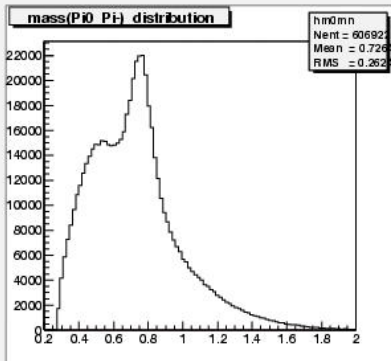
With mass cuts

$\pi \pi$



$m(\pi^0 \pi^0 \pi^0)$

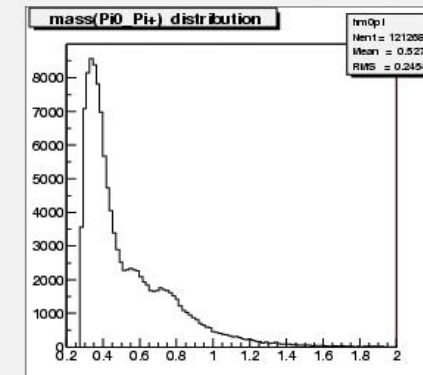
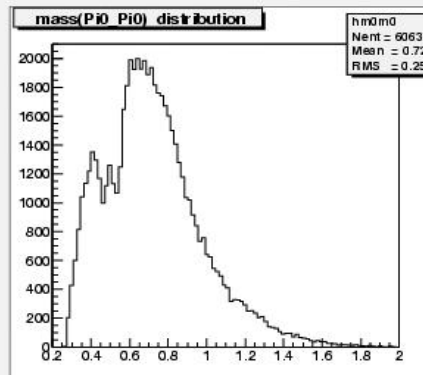
$m(\pi^0 \pi^+ \pi^+)$



$m(\pi^0 \pi^- \pi^-)$

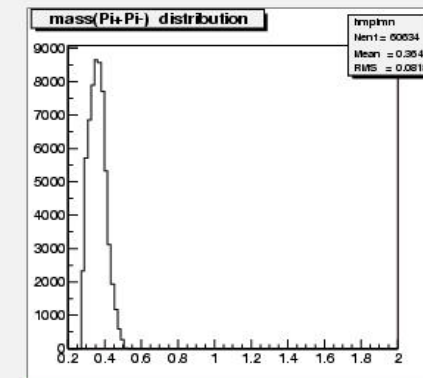
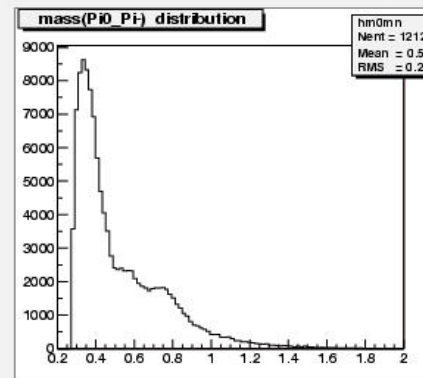
$m(\pi^+\pi^-)$

$\pi \pi$



$m(\text{Pi0},\text{Pi0})$

$m(\text{Pi0},\text{Pi}^+)$



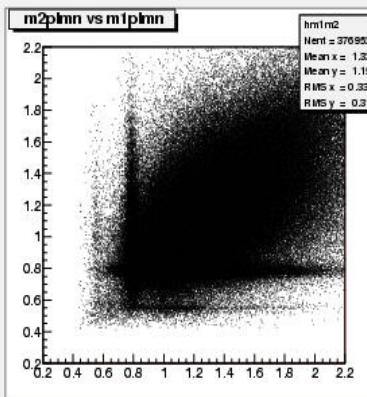
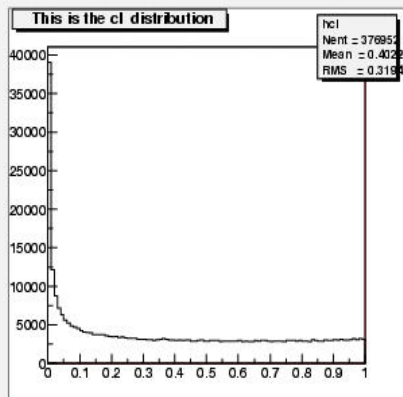
$m(\text{Pi0},\text{Pi}-)$

$m(\text{Pi}^+,\text{Pi}-)$

No cut

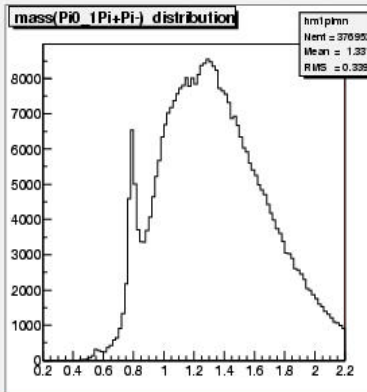
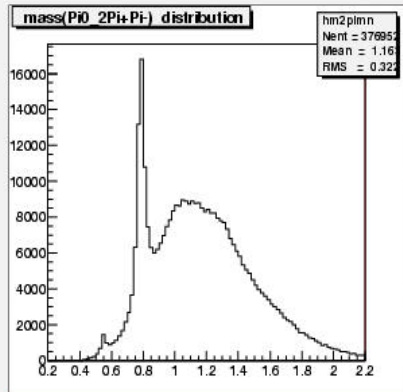
With mass cuts

3π



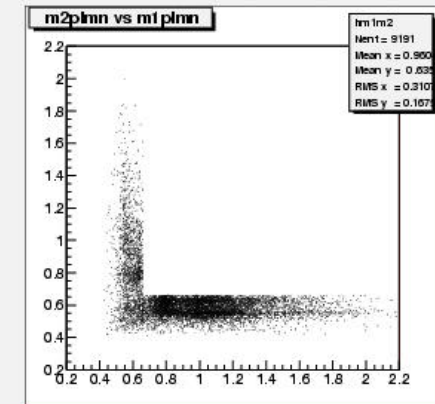
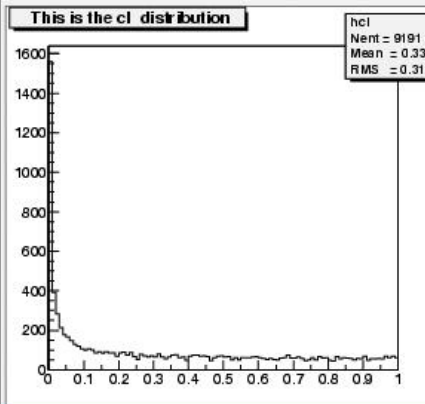
cl

$m(\pi_1 0 \pi^+ \pi^-)$



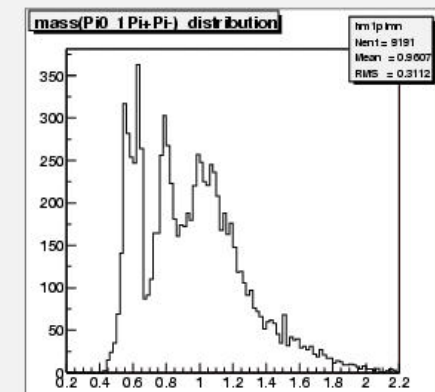
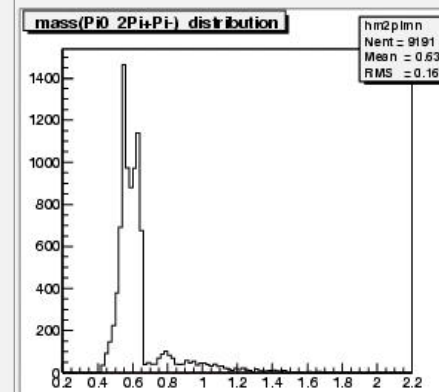
$m(\pi_2 0 \pi^+ \pi^-)$

$m(\pi_1 0 \pi^+ \pi^-)$



cl

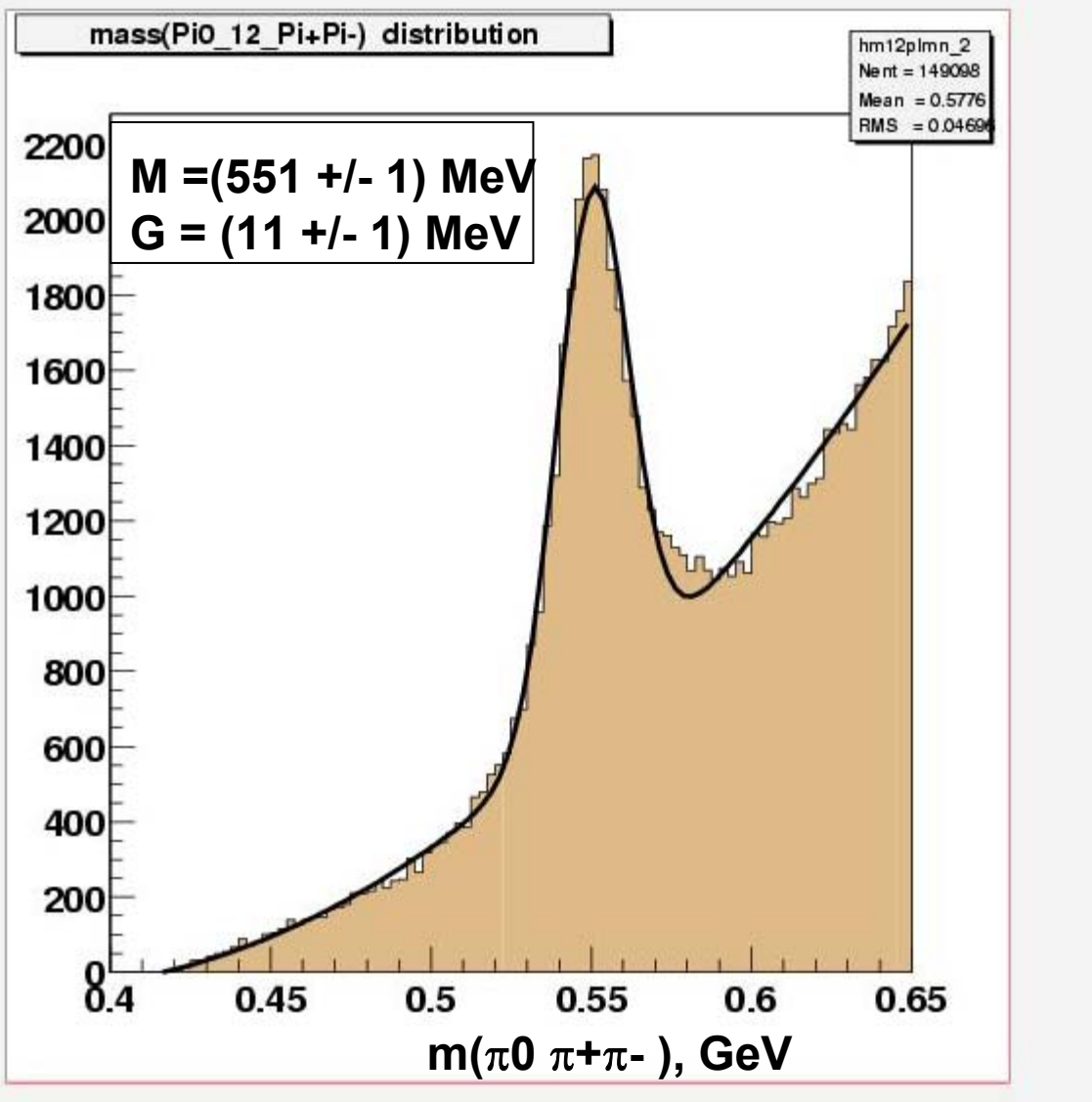
$m(\pi_1 0 \pi^+ \pi^-)$



$m(\pi_2 0 \pi^+ \pi^-)$

$m(\pi_1 0 \pi^+ \pi^-)$

η signal



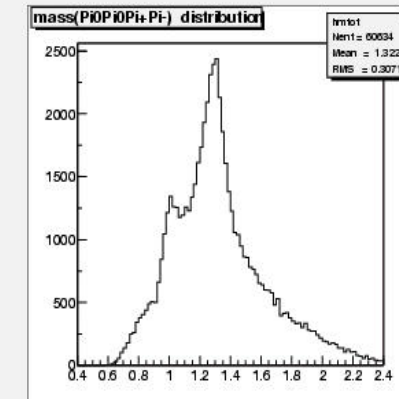
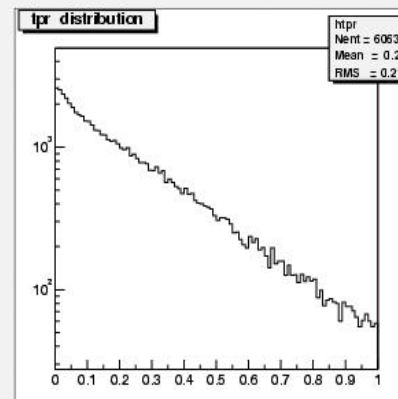
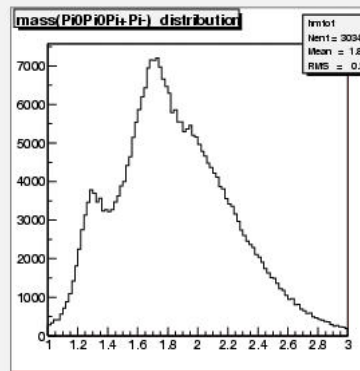
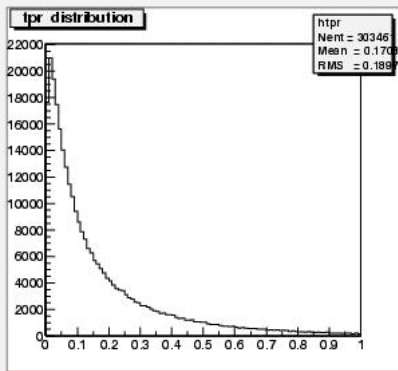
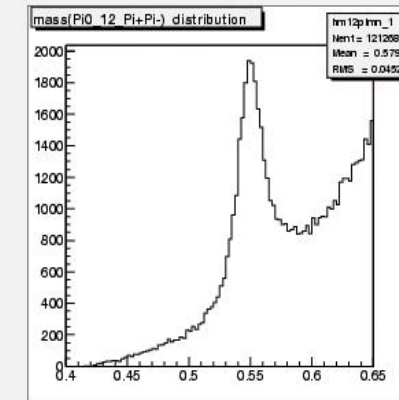
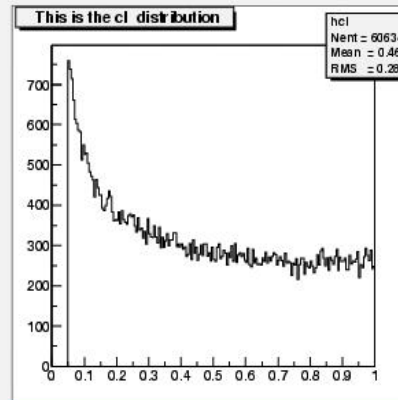
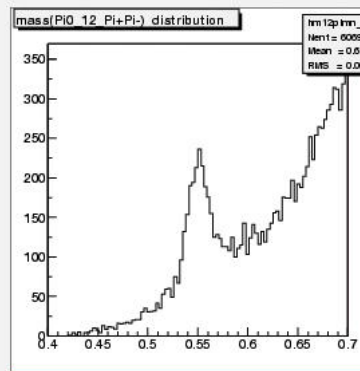
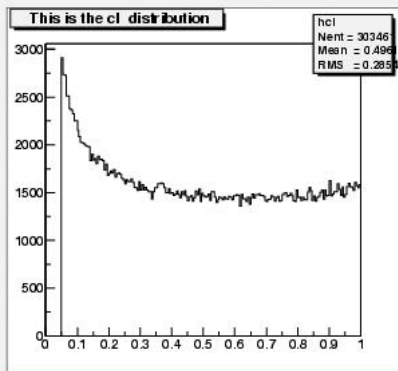
S/B ≈ 2

PDG:
 $M = 547 \text{ MeV}$

No cut

With mass cuts

3 π and 4 π



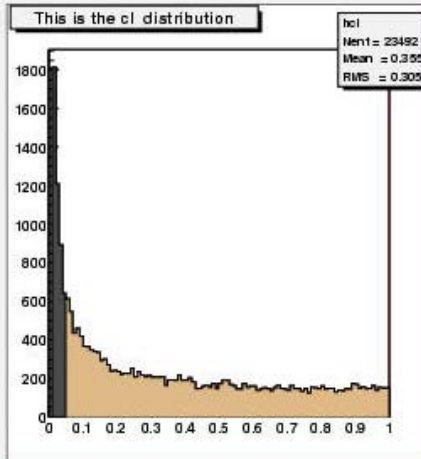
t'

$m(\pi^0 \pi^0 \pi^+\pi^-)$

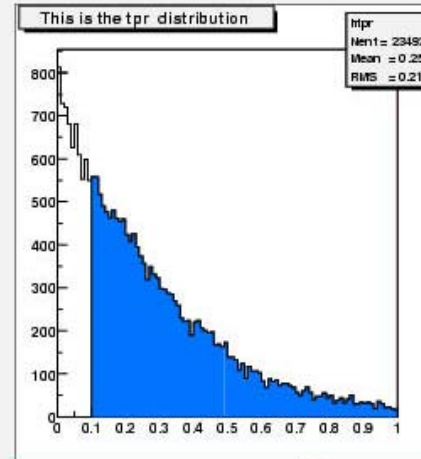
2004 год

With mass cuts

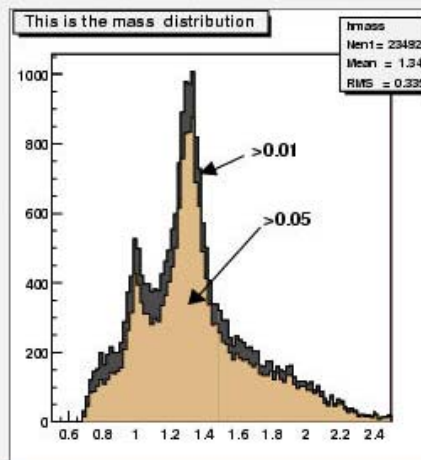
$\eta\pi^0$ 23490 событий



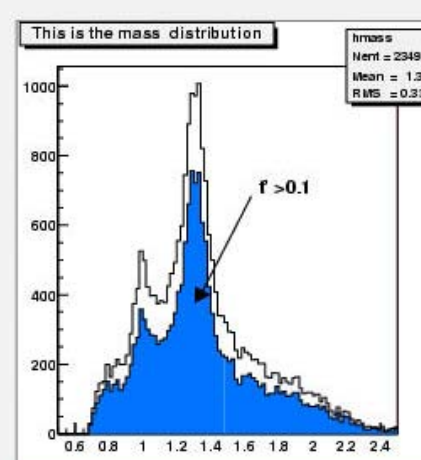
cl



t', GeV^2



$m(\text{Eta}\pi^0), \text{GeV}$



$m(\text{Eta}\pi^0), \text{GeV}$

PWA+MDF

Allowed waves:

\downarrow Notation

Notation	J	P	C	M	ϵ
S_0	0	+	+	0	-
P_0	1	-	+	0	-
P_-	1	-	+	1	-
D_0	2	+	+	0	-
D_-	2	+	+	1	-
P_+	1	-	+	1	+
D_+	2	+	+	1	+

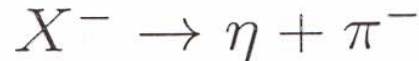
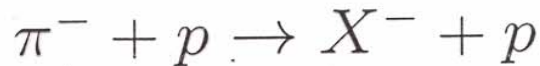
background

γ^{PC} :

$1^{-+} \rightarrow$

$2^{++} \rightarrow$

Парциально-волновой анализ



$M_X = M_{\eta\pi}$ - инвариантная масса системы $\eta\pi^-$

l - относительный орбитальный момент частиц $\eta\pi^-$

θ, ϕ - полярный и азимутальный угол частицы η
в системе Готфрида-Джексона

Угловое распределение:

$$I(M_X, \theta, \phi) = \sum_{\varepsilon k} |\varepsilon U_k(M_X, \theta, \phi)|^2, \quad \varepsilon = \pm 1, \quad k = 1, 2$$

$$\varepsilon U_k(M_X, \theta, \phi) = \sum_{l|m|} V_{lmk}^\varepsilon(M_X) \varepsilon D_{m0}^l(\theta, \phi)$$

$$\varepsilon D_{m0}^l(\theta, \phi) = D_{m0}^l(\phi, \theta, 0) - \varepsilon(-1)^m D_{m0}^l(\phi, \theta, 0)$$

Краткие обозначения "интенсивности" волн:

$$\varepsilon = -1 : S_0 = V_{00k}^-, P_0 = V_{10k}^-, P_- = V_{11k}^-, D_0 = V_{20k}^-, D_- = V_{21k}^-$$

$$\varepsilon = +1 : \textcircled{P}_+ = V_{11k}^+, \textcircled{D}_+ = V_{21k}^+$$

Масс-зависящий анализ 2-х интерферирующих волн

Две волны: $l = 2, l = 1$

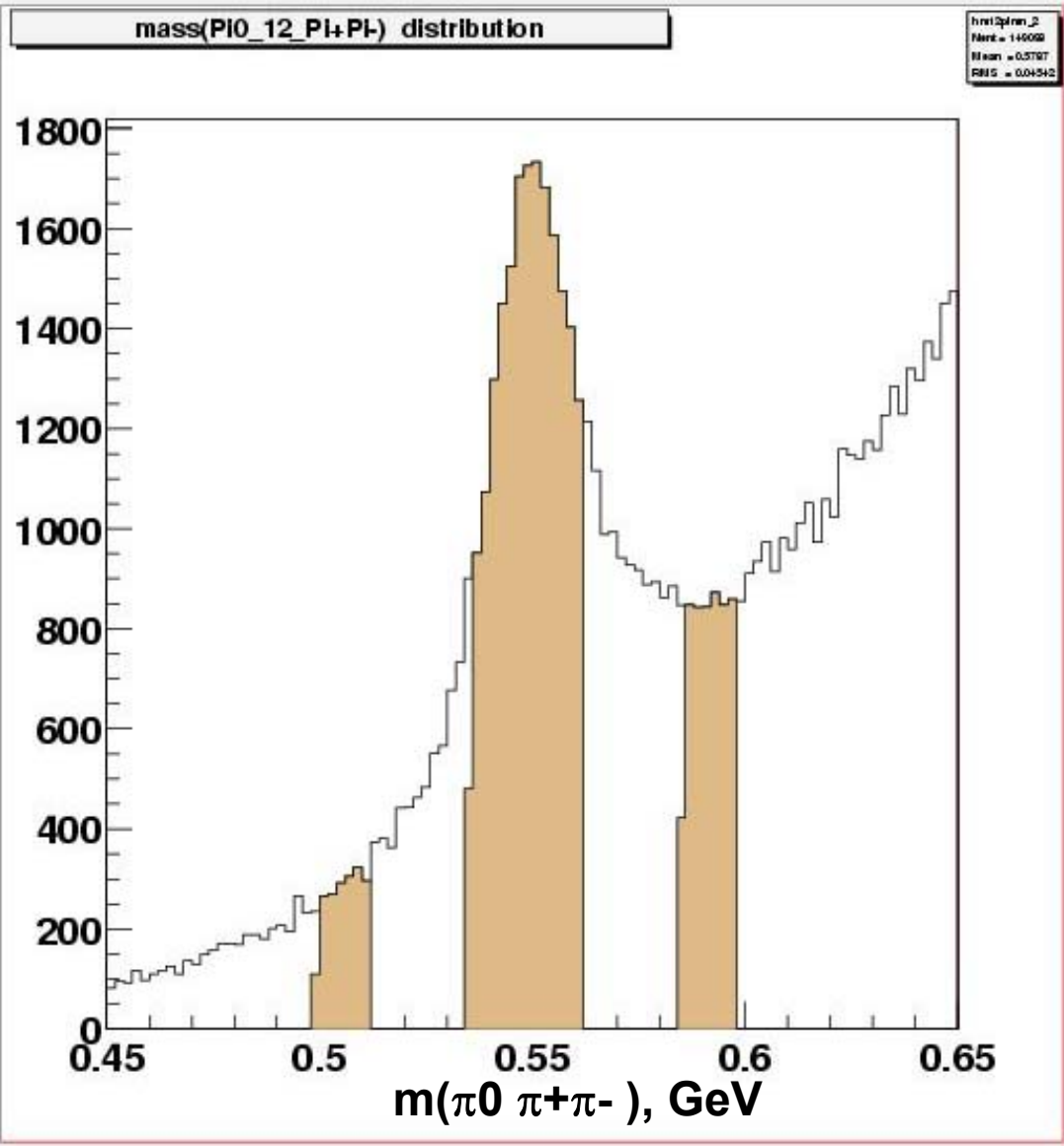
$$\frac{dI(M,\Omega)}{dMd\Omega} \sim |V_2(M)D_{10}^2(\theta, \phi) + V_1(M)D_{10}^1(\theta, \phi)|^2$$

$$V_1(M) = ae^{i\alpha} f_1^{BW}(M)$$

$$V_2(M) = bf_2^{BW}(M)$$

$$f_j^{BW}(M) = \frac{M_j \Gamma_j}{M_j^2 - M^2 - iM_j \Gamma_J} = e^{i\delta_j(M)} \sin \delta_j(M), \quad \operatorname{ctg} \delta_j(M) = \frac{M_j^2 - M^2}{M_j \Gamma_j}$$

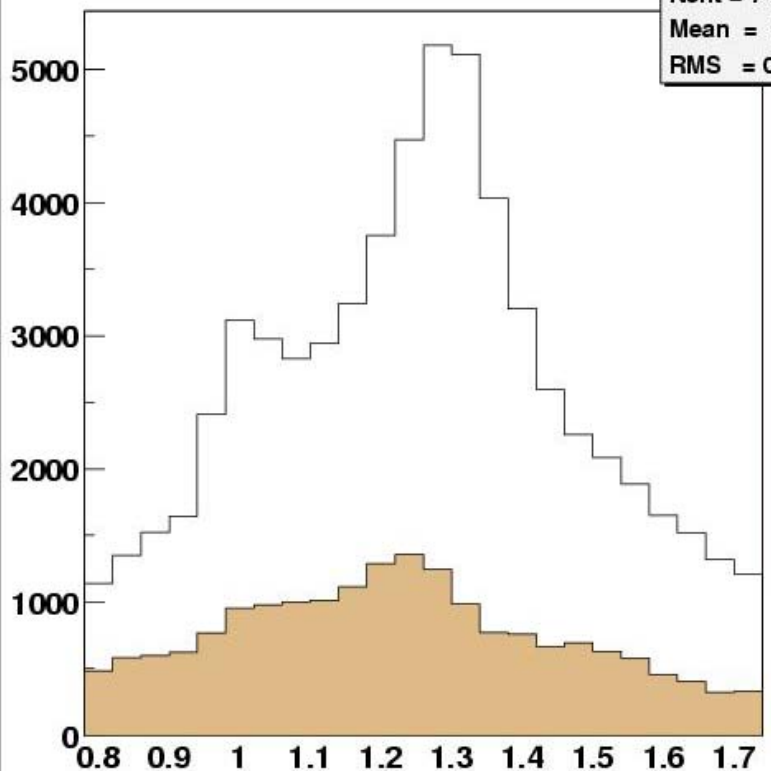
$$\text{Интерферирующий член} \sim e^{i(\alpha + \delta_1(M) - \delta_2(M))}$$



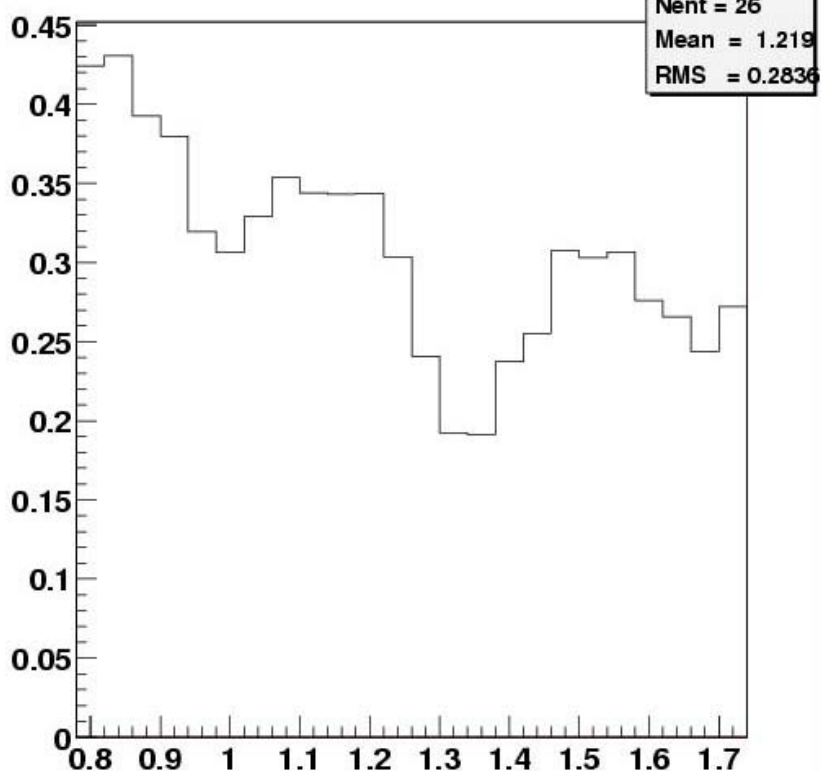
Background calculation by the side bands in each mass bin

mass(Pi0Pi0Pi+Pi-) distribution

hmtot
Nent = 74549
Mean = 1.254
RMS = 0.2238

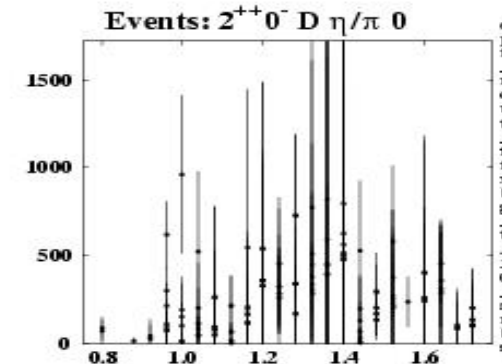
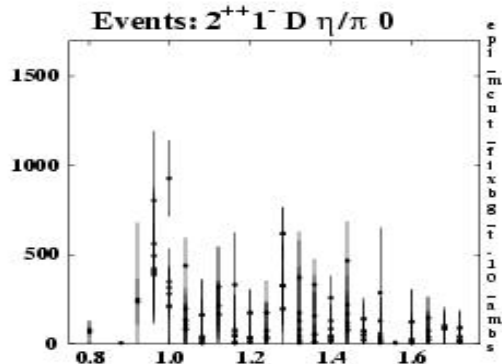
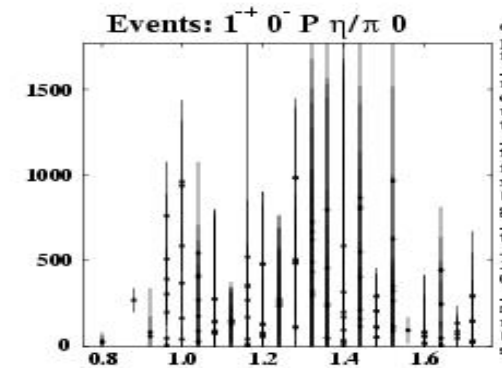
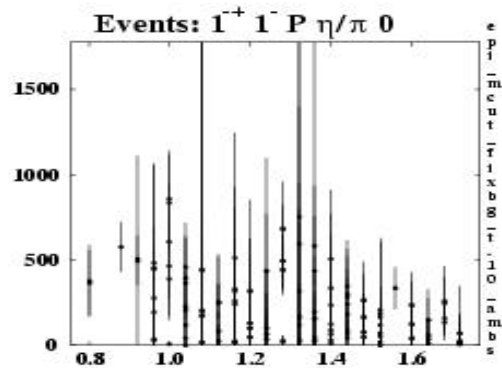
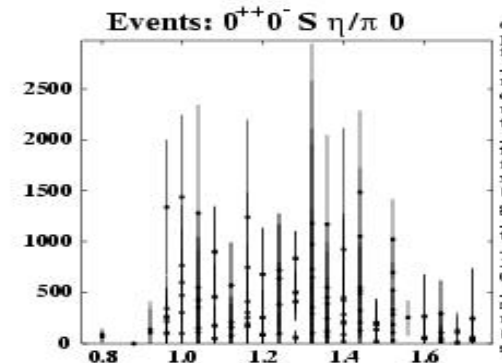
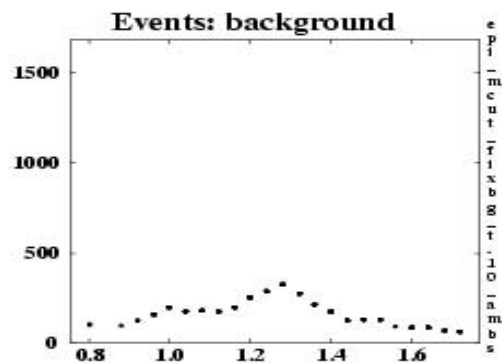


hratBT



- Data and background in the $m(\pi^0\pi^0\pi^+\pi^-)$ distribution
- Ratio Bckg/Data, mass bin = 40 MeV

**Lets fix the ratio Bckg/Data
from side bands analysis**

Fixed background, $t > 0.1 \text{ GeV}^2$, $|c_l| > 0.01$ 

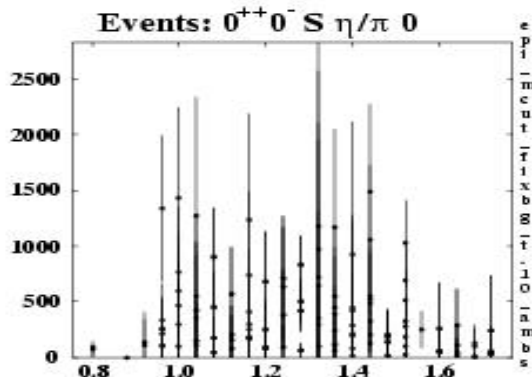
$m(\eta\pi^0), \text{ GeV}$

Fixed background, $t > 0.1 \text{ GeV}^2$, $\text{cl} > 0.01$

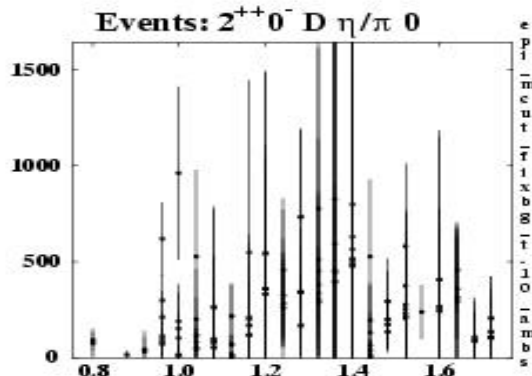
UNPW

NPW

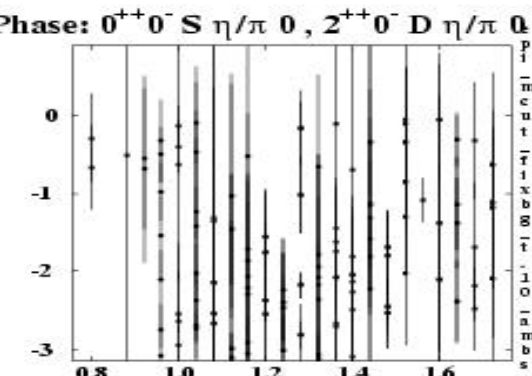
S0



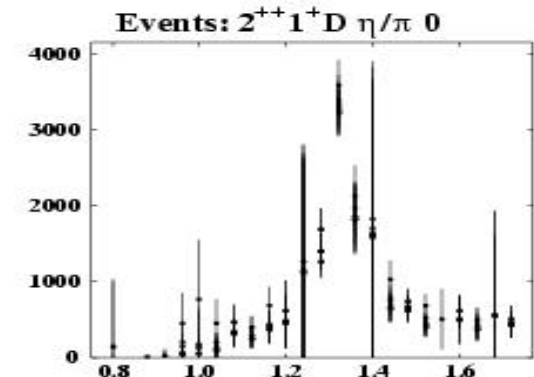
D0



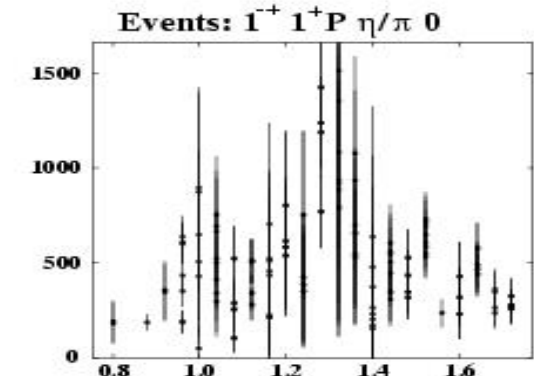
Phase



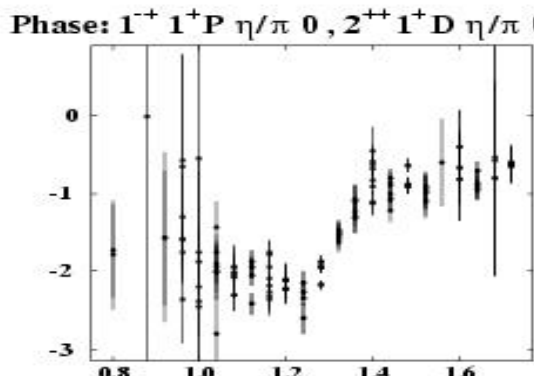
D+



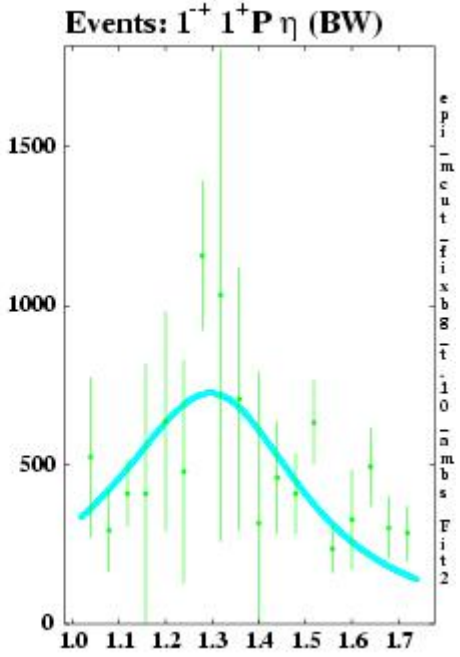
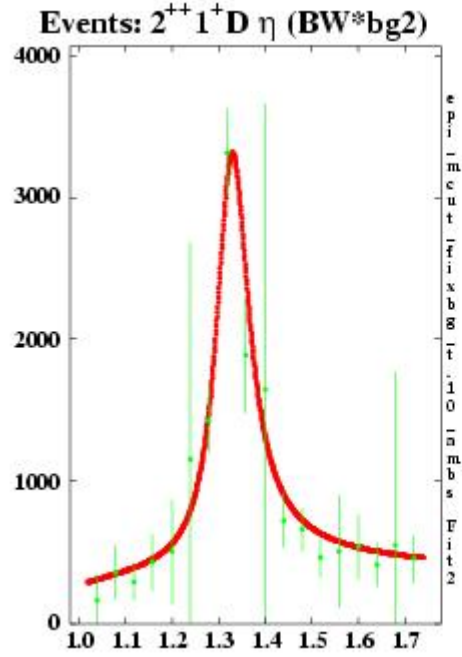
P+



Phase



$m(\eta\pi^0), \text{ GeV}$



Fixed background

D+ and P+, MDF, $cl > 0.01$
Average solution
Average error matrix

D+

M = 1.330 ± 0.002
G = 0.085 ± 0.003

a2(1320)

New E852 result

P+

M = 1.326 ± 0.024
G = 0.470 ± 0.081

Pi₁(1300) ?
In EtaPi0

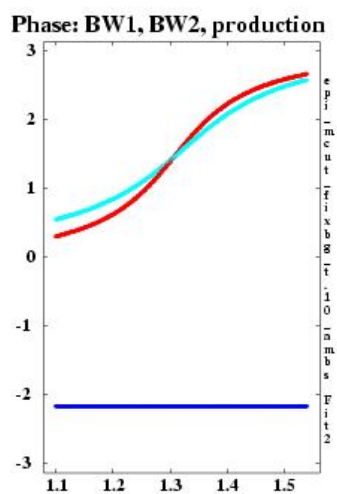
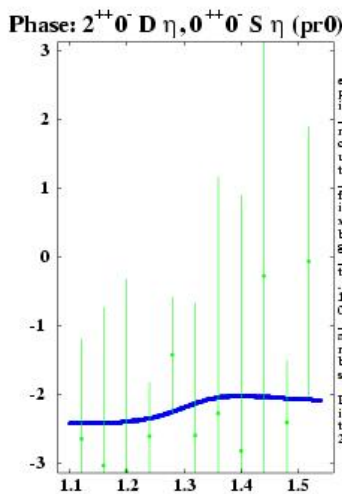
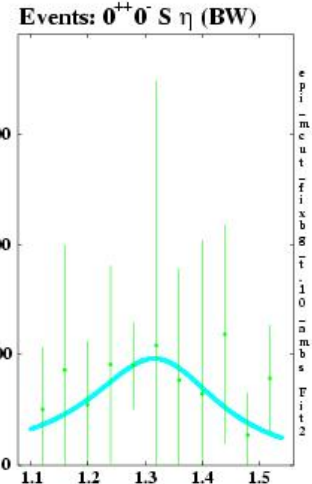
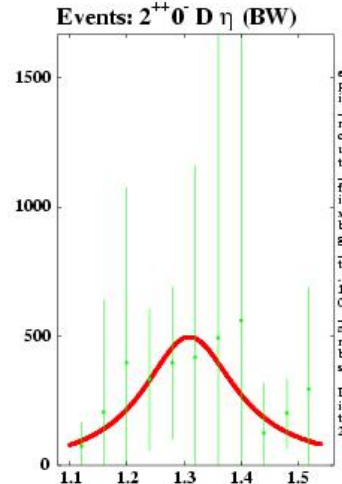
Width is less then at 2000 year !!!

Preliminary

S0 and D0, MDF, $cl > 0.01$, $1.1 < m < 1.54$ GeV

Average solution, Average error matrix

Fixed background



New E852 result

D0
 $M = 1.32 \pm 0.046$
 $G = 0.20 \pm 0.10$

a2(1320) ?
 In UNPW

S0
 $M = 1.32 \pm 0.042$
 $G = 0.28 \pm 0.19$

a0(1300)

GAMS
S0
 $M = 1.308 \pm 0.006$
 $G = 0.101 \pm 0.14$

Preliminary

Lets calculate

$$R = (D^0 + D^-) / D^+$$

for
 $\eta\pi^0$,
 $\eta \rightarrow \pi^+\pi^-\pi^0$

«Источник» множественных решений – волны с ненатуральной Четностью . Поэтому необходимо для отбора физического решения «работать» с D^0, D^-, S_0

Regge model: $N \sim E_0^{2\alpha(0) - 2}$

GAMS ,**S.A.Sadovsky**

D_+ : $N \sim E_0^{-1}$, $\rightarrow \rho$ - exchange, if $\alpha(0) = 0.5$

D_0, D_- : $N \sim E_0^{-2}$ $\rightarrow b_1$ - exchange , if $\alpha(0) = 0.$

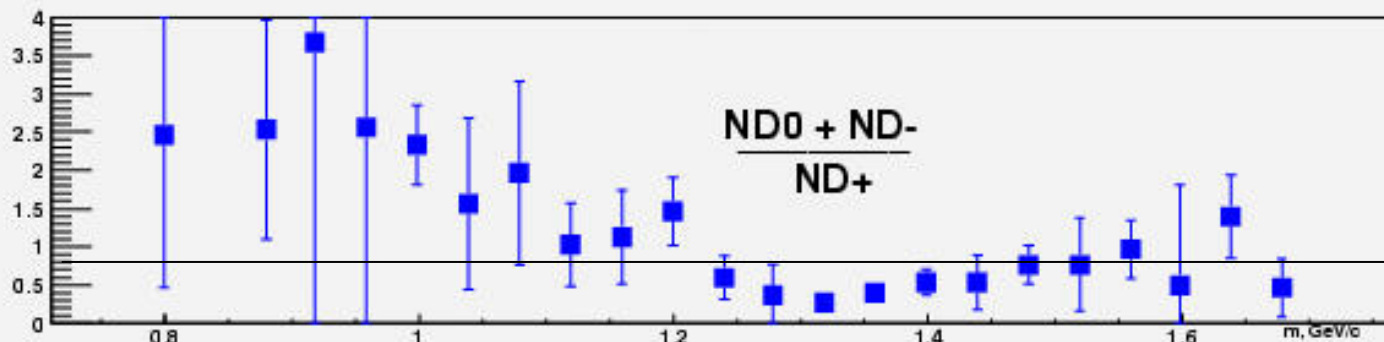
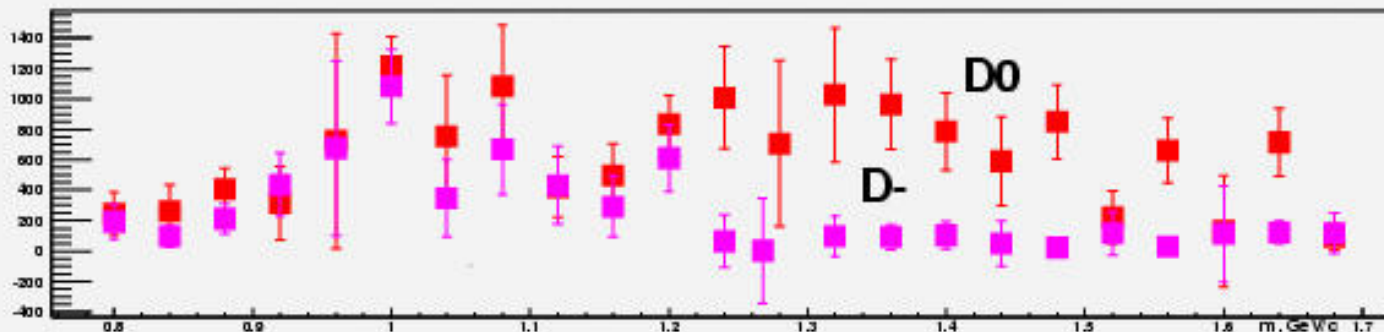
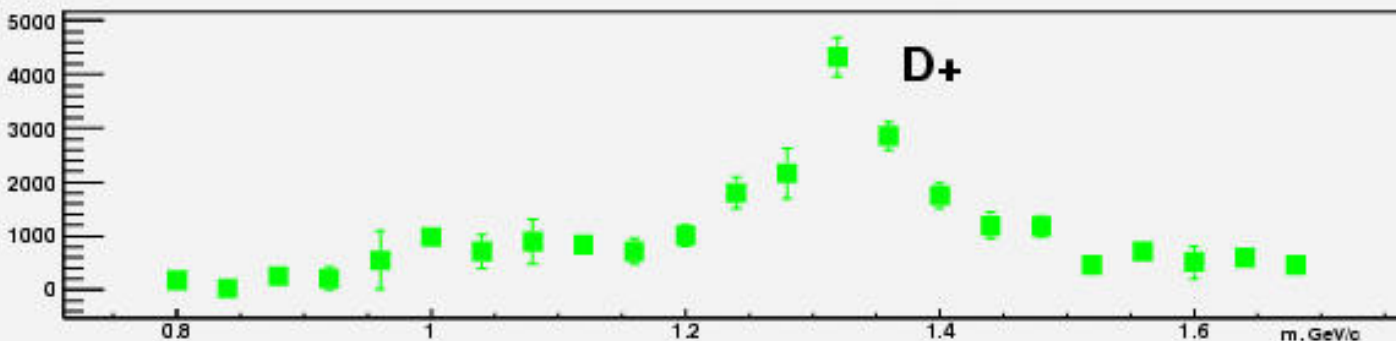
$R = (D_0 + D_-)/D_+$, So: $R(E_0) \sim E_0^{-1}$

E_0 , GeV/c	Regge model	GAMS $\eta \rightarrow 2\gamma$	E852-IU $\eta \rightarrow 2\gamma$	
38.	0.4	0.38 ± 0.015		
18.	0.84		0.72 ± 0.12	

Точнее, $\alpha_\rho(0) = 0.57$, $\alpha_{b1}(0) = -0.37 \rightarrow R(E_0) \sim E_0^{-2}$

$\eta\pi^0$,
 $\eta \rightarrow \pi^+\pi^-\pi^0$

One solution

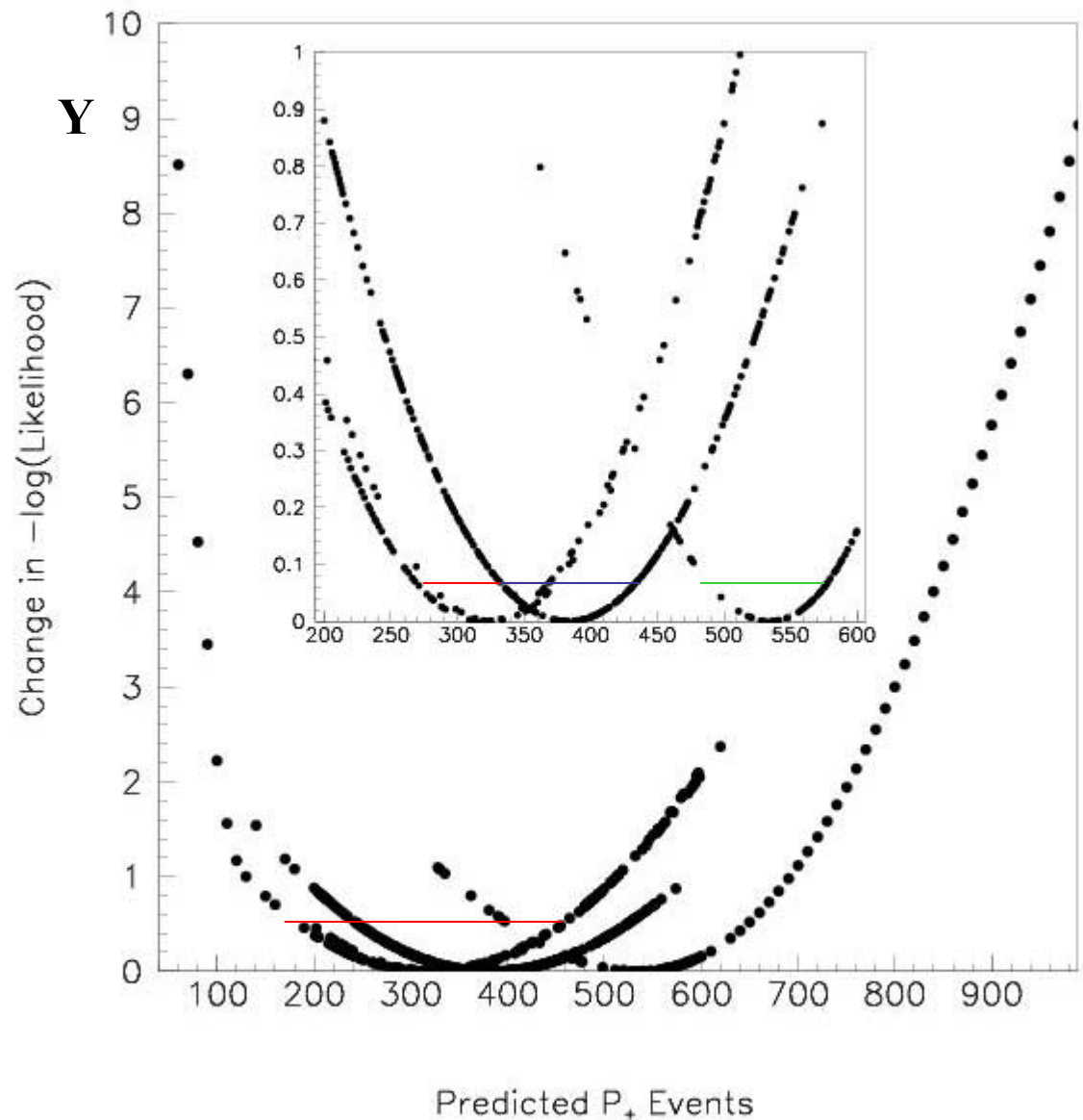


RM
↓

В настоящий момент ошибки множественных решений вычисляются неправильно.
Способ корректного вычисления нужно реализовать:

$Y = \ln(\text{Likelihood})$ для множественных решений

1. Величина ошибки соответствует $|Y| < 0.5$
2. Для всех решений ошибка примерно одинакова



Предлагаемый метод отбора физического решения среди множественных решений

- 1. Выполнить подгонку интенсивности D+ волны и относительной фазы D+ и P+ волн (распределений - менее всего зависящих от множественных решений)**
- 2. По резонансным кривым a2(1320)б a0(1300) и a0(980) отобрать точки – кандидаты физического решения**
- 3. Вычислить отношение $R=(D_0 + D_-)/D_+$ и отобрать точки при $0.4 < R < 0.8$**
- 4. Повторить подгонку с новым отбором точек**

Continuation of the study is necessary. Problem is large errors.

Заключение:

1. Вычищение событий от фона позволило улучшить отношение S/B для η сигнала в 2 раза
2. Отношение R близко к предсказанию модели Редже
3. Возможно установить $a_0(1300)$ в S_0 волне, что особенно важно для выбора физического решения
4. Результат ПВА дает близкие значения параметров $\pi_1^0(1400)$ в $\eta\pi^0$ к значениям $\pi_1^-(1400)$ в $\eta\pi^-$

$\pi_1^-(1400) : m = 1370 \pm 16 +50/-30, \Gamma = 385 \pm 40 +66/-105$

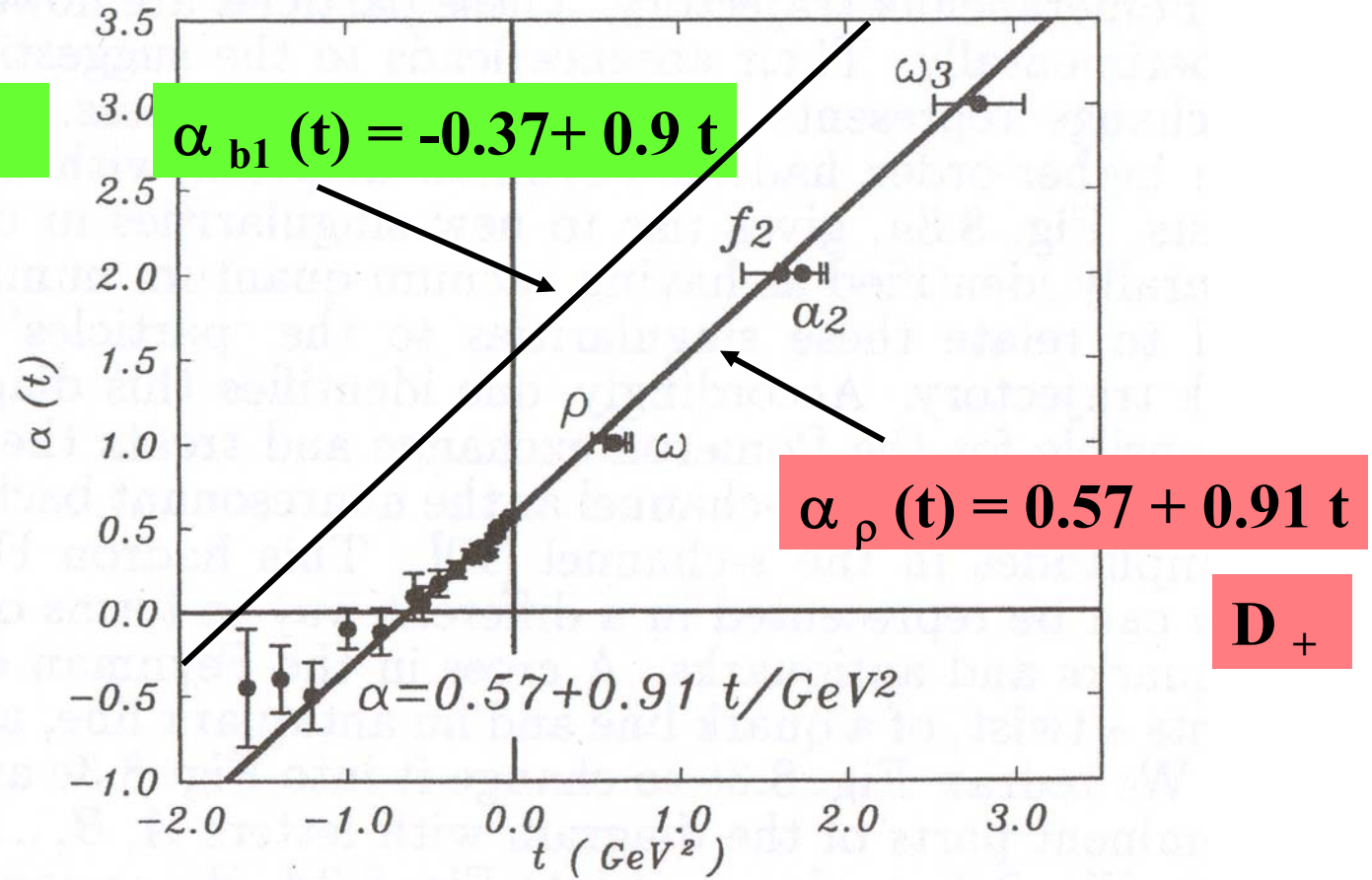
$\pi_1^0(1400) : m = 1326 \pm 24 +70/-50, \Gamma = 470 \pm 81 +34/-126$

Вопросы для завершения работы

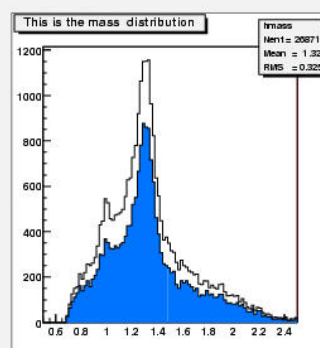
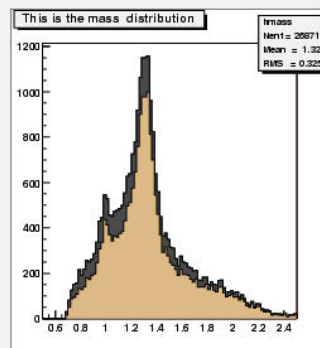
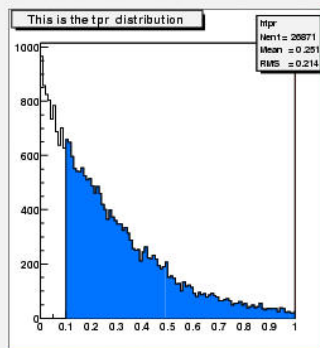
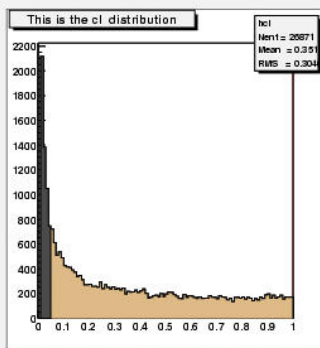
- 1. Правильное вычисление ошибок результатов для множественных решений**
- 2. Выбор физического решения предложенным методом**
- 3. Отсутствие провала в t' – распределении при $t' \rightarrow 0$**
- 4. Учесть «протечку» в $P+$ волне с отобранным решением как от $D+$, так и от $S0$ волны**
- 5. Анализ «физического» фона под пиком π_1 (1400)**

Outside slides

D₀,D-



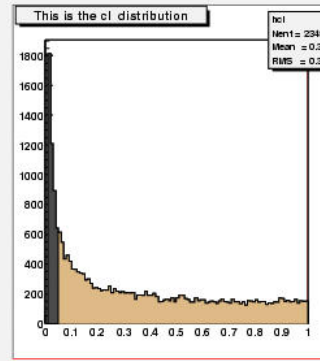
No cut



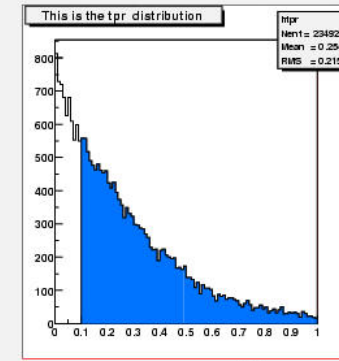
$\eta\pi^0$

With mass cuts

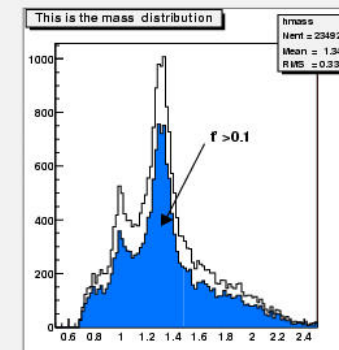
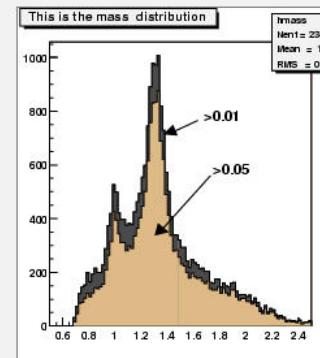
23490 событий



cl



t', GeV^2

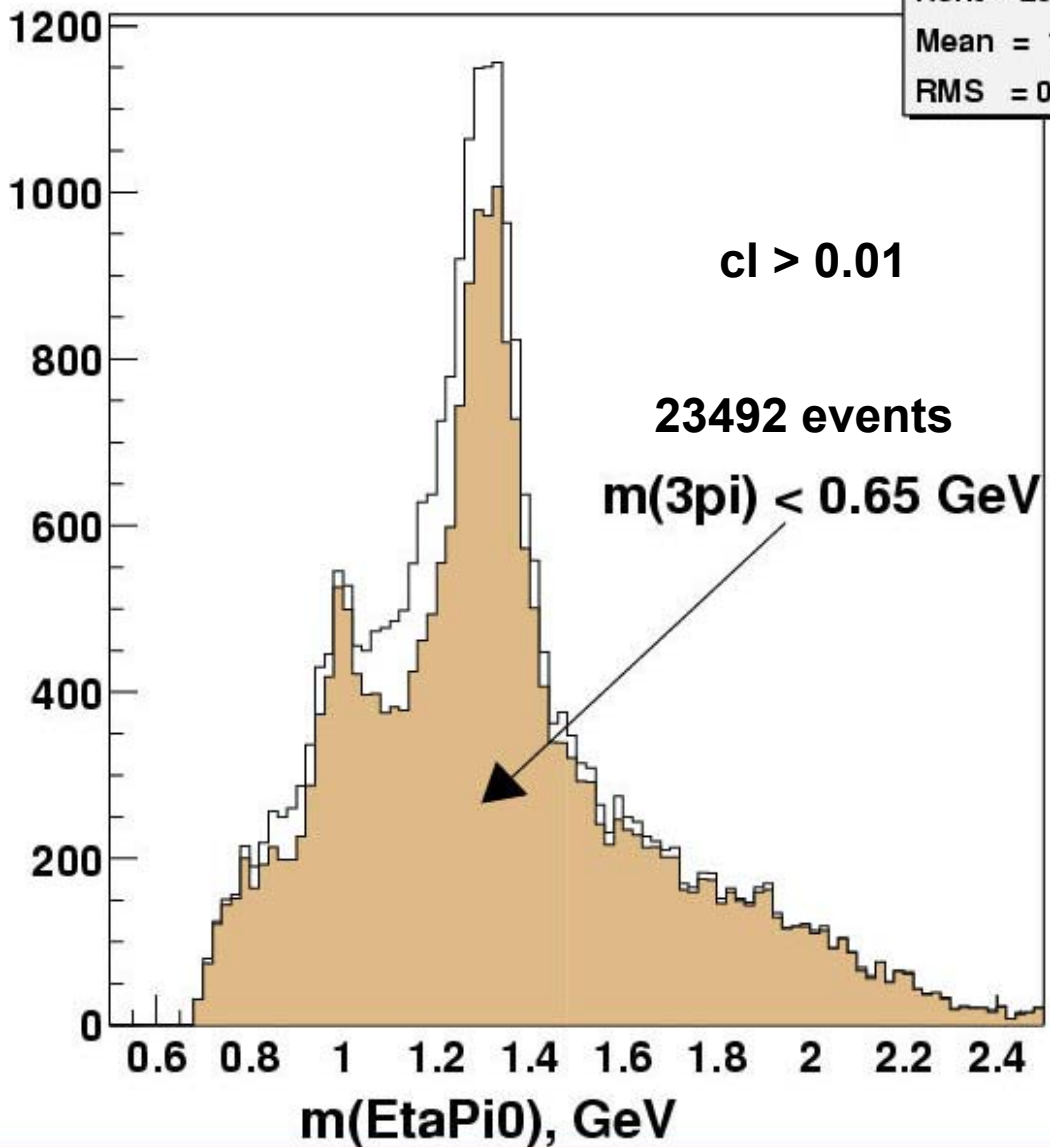


$m(\eta\pi^0)$

Comparison without and with mass(3pi) cut

This is the mass distribution

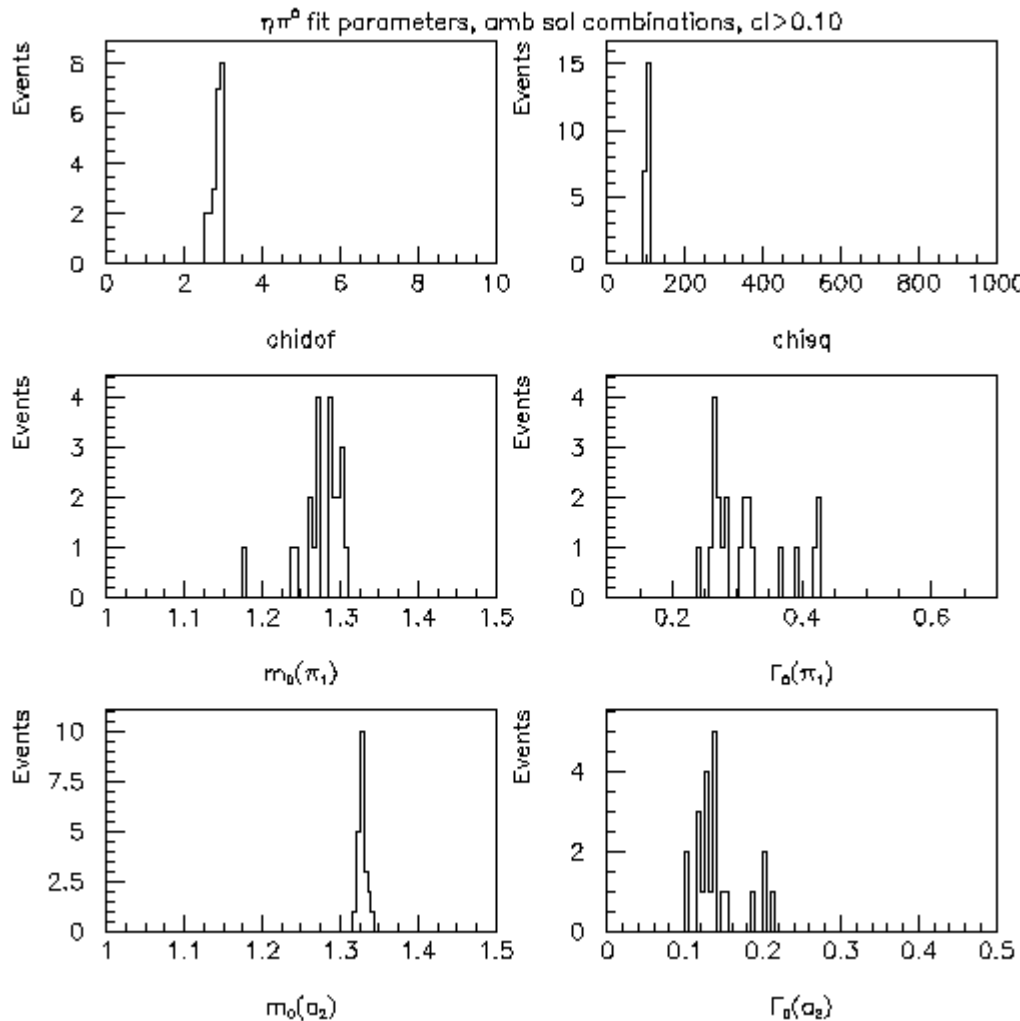
hmass
Nent = 26871
Mean = 1.327
RMS = 0.3254



Systematical error estimations

Main source: ambiguous solutions

We did the mass dependent fit of random combinations of solutions.
Here are the distributions of BW parameters for π_1 and a_2 peaks



Systematical
solutions

π_1 $M = 1280 \pm 24 + 30/-45$
 $G = 526 \pm 81 + 0/-286$

a_2 $M = 1326 \pm 4 + 19/-11$
 $G = 119 \pm 5 + 36/-19$

Other source: leakage

We did Mass Dependent PWA

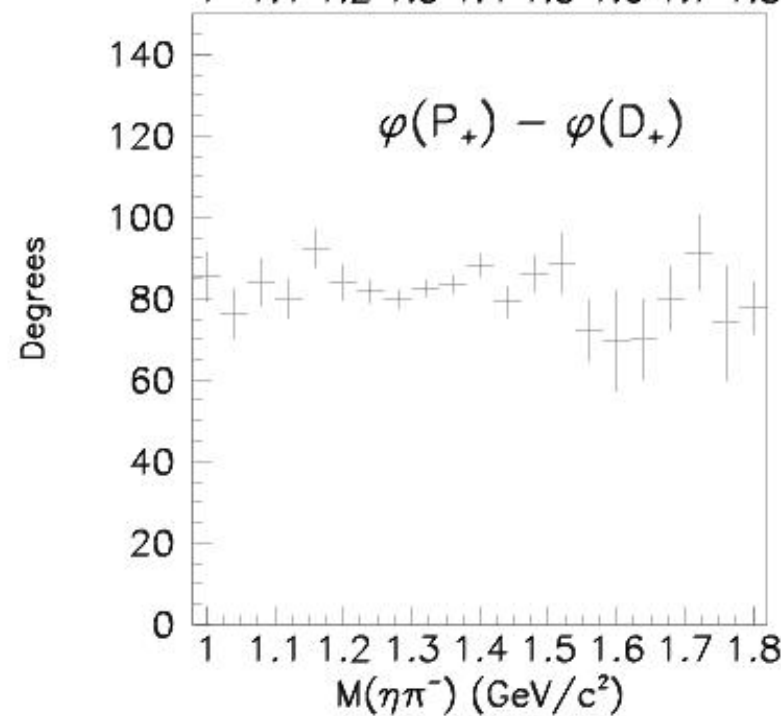
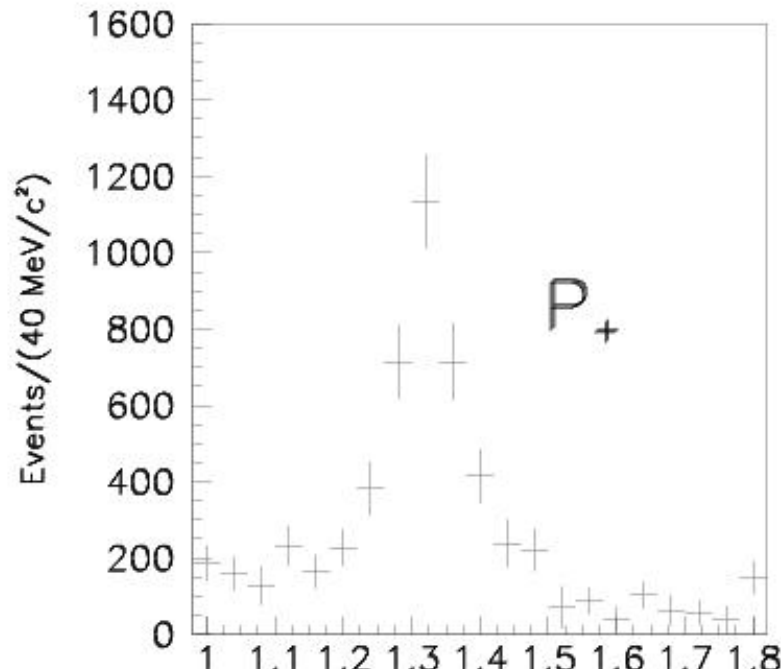
Parameters of π_1 (1300)
Old results, no mass cut

Mass = $1280 \pm 24 +30/-45$
Width= $526 \pm 81 +0/-286$

	Mass, MeV	Width, MeV
PWA, MDF →	Average	1280 ± 24
MDPWA →	Leakage=0	1250 ± 7
MDPWA →	MaxLekage	1118 ± 21

Свойства Leakage:

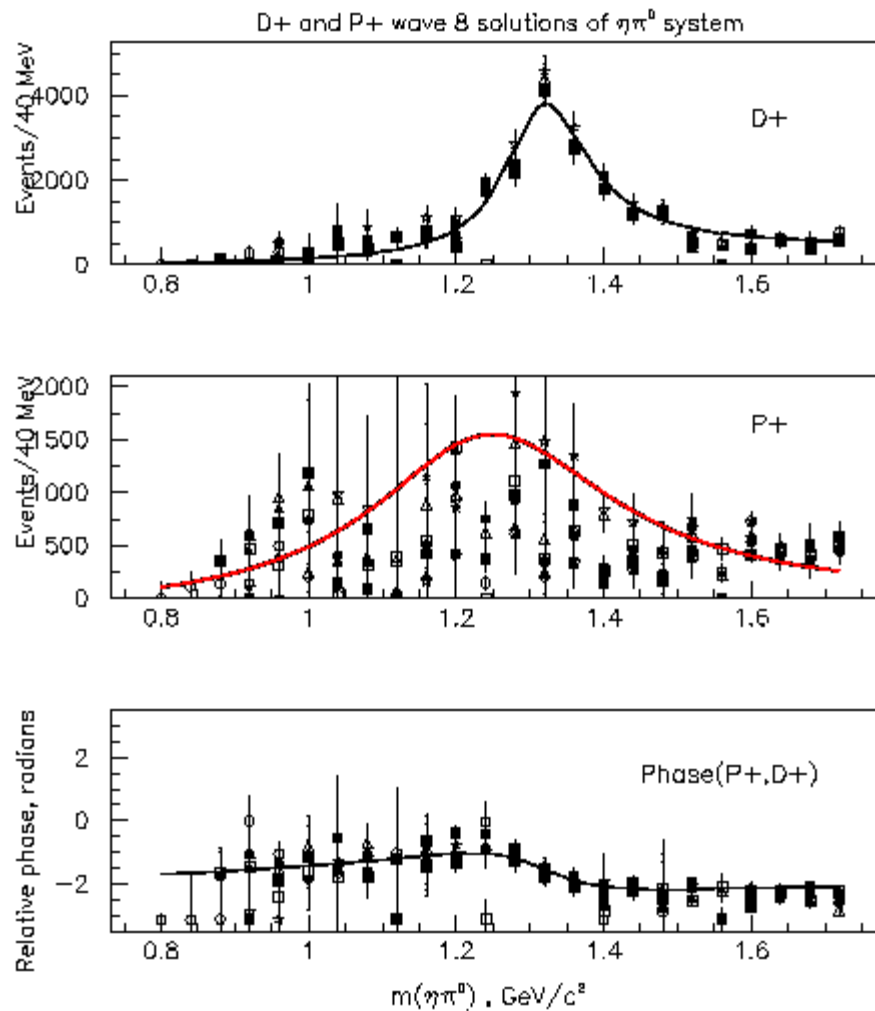
1. Интенсивность P_+ волны пропорциональна D_+ волне
2. Относительная фаза не зависит от массы и близка к 90°



Mass dependent PWA of $\eta\pi^0$

1. Simultaneous fit of angular and mass distributions
2. Free BW parameters and leakage

A) Leakage = 0 and fixed



red – BW of P+ wave

$$M = 1250 \pm 7$$

$$\Gamma = 386 \pm 10$$

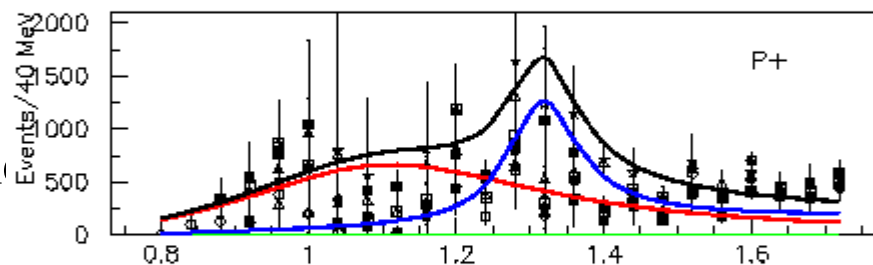
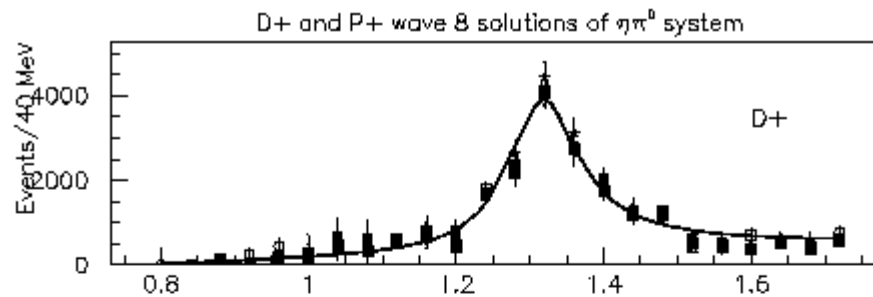
Analysis of 2000 year

Mass dependent PWA of $\eta\pi^0$

1. Simultaneous fit of angular and mass distributions
2. Free BW parameters and leakage

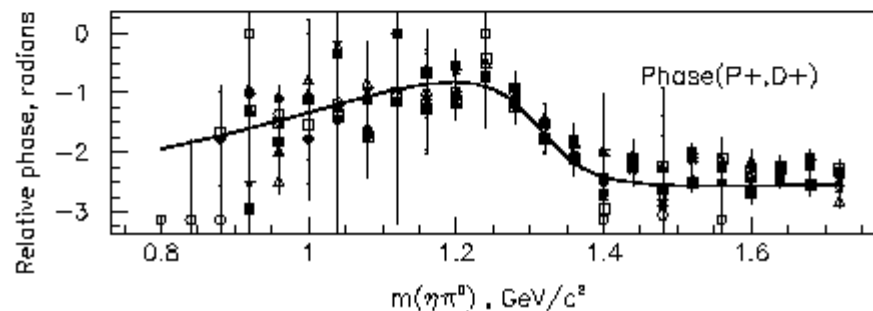
B) Leakage is maximum, 30% of $|D+|^2$

Analysis of 2000 year



$$M = 1118 \pm 21$$

$$\Gamma = 477 \pm 32$$



We can't make the free leakage, but there is problem !!!

blue – leakage
red – BW contribution

Why

$\pi_1(1400) \rightarrow \eta\pi$ and not $\rightarrow \eta'\pi$

$\pi_1(1600) \rightarrow \eta'\pi$ and not $\rightarrow \eta\pi$

S.U. Chung, E.Klempt, J.G.Korner, Eur.Phys.J.A15(2002)539

In the limit of flavor SU(3) conservation and by the requirement of Bose symmetrization

$$\pi, \eta \Rightarrow \{\text{Octet}\}_8$$

If $\{X\}_8 \rightarrow \{\eta\}_8 + \{\pi\}_8$, then $X = \eta\pi + \pi\eta$

$$X = \pi_1(1400) \rightarrow [\eta\pi]_-, L=1, X = \eta\pi - \pi\eta$$

So $\pi_1(1400)$ is not $\{\text{Octet}\}_8$, not Hybrid !!

$\pi_1(1600)$ may be $\{\text{Octet}\}_8$, $\{X\}_8 \rightarrow \{\eta'\}_1 + \{\pi\}_8$

Experimental results and interpretation

1^{-+}	$X \rightarrow \eta\pi$	$X \rightarrow \eta'\pi$	Interpretation
$\pi_1 (1400)$	+	-	Decuplet {4q}
$\pi_1 (1600)$	-	+	Hybrid

